

21

**MOVIMIENTO SISMICO EN CAÑONES  
DE FORMA ARBITRARIA**

47

**T E S I S**

**Que para optar por el grado de doctor en  
ingeniería (estructuras) presenta:**

**FRANCISCO JOSE SANCHEZ SESMA**

**Supervisor  
EMILIO ROSENBLUETH**

**División de Estudios Superiores, Facultad de Ingeniería  
UNIVERSIDAD NACIONAL AUTONOMA DE MEXICO**

**Noviembre 1978**

**TESIS CON  
FALLA DE ORIGEN  
TESIS CON  
FALLA DE ORIGEN**



Universidad Nacional  
Autónoma de México



## **UNAM – Dirección General de Bibliotecas Tesis Digitales Restricciones de uso**

### **DERECHOS RESERVADOS © PROHIBIDA SU REPRODUCCIÓN TOTAL O PARCIAL**

Todo el material contenido en esta tesis está protegido por la Ley Federal del Derecho de Autor (LFDA) de los Estados Unidos Mexicanos (México).

El uso de imágenes, fragmentos de videos, y demás material que sea objeto de protección de los derechos de autor, será exclusivamente para fines educativos e informativos y deberá citar la fuente donde la obtuvo mencionando el autor o autores. Cualquier uso distinto como el lucro, reproducción, edición o modificación, será perseguido y sancionado por el respectivo titular de los Derechos de Autor.

FACULTAD DE INGENIERIA  
DIVISION DE ESTUDIOS SUPERIORES  
SECCION DE ESTRUCTURAS

MOVIMIENTO SISMICO EN CAÑONES  
DE FORMA ARBITRARIA

T E S I S

que presenta

FRANCISCO JOSE SANCHEZ SESMA

para obtener el grado de:

DOCTOR EN INGENIERIA (ESTRUCTURAS)

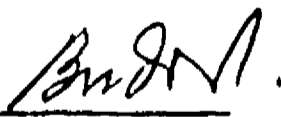
JEFE DE LA SECCION

Ing. Julio Dany Ríos



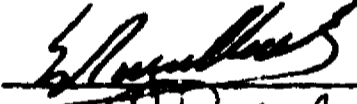
SECRETARIO ACADEMICO

Dr. Ubaldo Bonilla D.

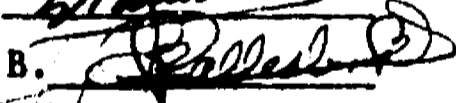


JURADO

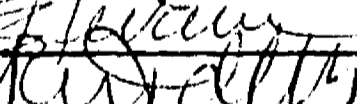
Dr. Emilio Rosenblueth D.



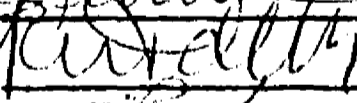
Dr. Porfirio Ballesteros B.



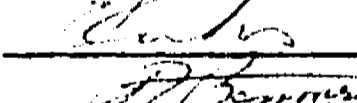
Dr. Luis Esteva Maraboto



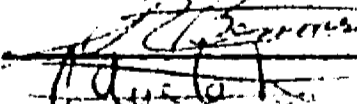
Dr. Roberto Meli Piralla



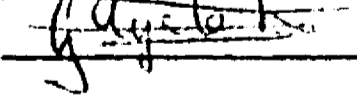
Dr. Eduardo Rukos Manzur



Dr. Raúl Flores Berrones



Dr. Gustavo Ayala Milián



C. U., México., D.F.

Noviembre 1978

TESIS CON  
FALLA DE ORIGEN

*Para que pueda ser he de ser otro,  
salir de mí, buscarme entre los otros,  
los otros que no son si yo no existo,  
los otros que me dan plena existencia.*

OCTAVIO PAZ

A MI MADRE  
A MIS HERMANOS  
A MIS MAESTROS  
A MIS AMIGOS

# I N D I C E

ABSTRACT	
RESUMEN	
1. INTRODUCCION	1
2. FORMULACION DEL PROBLEMA	5
2.1 <i>Incidencia de ondas SH</i>	5
2.2 <i>Incidencia de ondas P o SV</i>	8
3. SOLUCION NUMERICA	12
3.1 <i>Ondas SH</i>	12
3.2 <i>Ondas P o SV</i>	13
4. RESULTADOS	15
5. EXTENSIONES Y APLICACIONES	20
6. CONCLUSIONES	22
7. RECONOCIMIENTOS	23
8. REFERENCIAS	24
TABLAS	29
FIGURAS	32
APENDICE A. NOTACION	46
APENDICE B. PROBLEMA INTERIOR EN EL CASO SH	49
APENDICE C. EXPRESIONES PARA FUENTES DE ONDAS P o SV	51
APENDICE D. COLOCACION Y MINIMOS CUADRADOS	54
APENDICE E. PROGRAMAS PARA CALCULADORA	56

## ABSTRACT

A method is presented to compute the scattering and diffraction of plane seismic waves by a canyon of arbitrary shape. The problem is formulated in terms of Fredholm integral equations of the first kind in which the integration paths are defined outside the boundary, thus obtaining regular kernels. A class of discretization schemes using line source solutions is employed. Boundary conditions are satisfied in a collocation-least-squares sense. Numerical results are presented for amplification spectra for different geometries. Comparisons are provided for some known analytic and numerical solutions. Some extensions and possible applications are discussed.

## RESUMEN

Se presenta un método para calcular la difracción de ondas sísmicas planas por cañones de forma arbitraria. El problema se formula en términos de ecuaciones integrales de Fredholm de primera especie en las cuales las trayectorias de integración se definen en curvas diferentes de la que define la frontera del cañón. De esta manera se obtienen núcleos regulares. La discretización se hace con soluciones para fuentes lineales y las condiciones de frontera se satisfacen empleando un criterio de colocación y mínimos cuadrados. Se presentan espectros de amplificación para diferentes geometrías, así como comparaciones de los resultados con algunas soluciones analíticas y numéricas conocidas. Se discuten algunas extensiones y posibles aplicaciones del método.



## 1. INTRODUCCION

Se ha reconocido la influencia de la topografía y la naturaleza del suelo locales en las características de los sismos en un sitio dado como un factor de interés en diseño sísmico (9, 29, 30). Las condiciones locales pueden modificar apreciablemente el movimiento en sitios relativamente cercanos entre sí en los que otros parámetros, como la distancia a la fuente sísmica o los ángulos de incidencia predominantes sean sensiblemente similares. En algunos sitios estas diferencias se han manifestado por aumentos o reducciones de la intensidad de un temblor y, consecuentemente, en la distribución espacial del daño (18,27).

En los últimos años los efectos de la topografía local y de las características del suelo superficial en la amplificación de las ondas sísmicas han sido estudiadas por numerosos autores. La construcción de importantes obras civiles y la necesidad de estimar parámetros para diseño confiables ha reforzado este interés (9).

El asunto se ha tratado en la literatura como un problema de difracción de ondas elásticas por irregularidades en la superficie de un semiespacio elástico. Se han empleado métodos de perturbaciones (12,23), en que los resultados están restringidos a regiones lejanas de la irregularidad.

El ajuste de desarrollos asintóticos (32) permite tratar sólo longitudes de onda mucho mayores que el tamaño de la zona irregular. El empleo de diferencias finitas ha permitido calcular el movimiento en la irregularidad misma; se ha encontrado que los efectos topográficos son significativos cuando la longitud de onda incidente es comparable con la dimensión característica de la zona irregular (4). Para cañones semicirculares y semielípticos se han obtenido soluciones analíticas cuando inciden ondas de cortante planas polarizadas horizontalmente, o SH (46,50). Dichas soluciones se han extendido para tratar difracción de ondas SH por depósitos aluviales con secciones semicircular y semielíptica (44,51). La difracción de ondas SH por cañones de forma arbitraria ha sido formulada en términos de una ecuación Integral de Fredholm de segunda especie y aplicada para estudiar los efectos topográficos en el cañón de Pacoima, California (49). Un método que consiste en considerar que la irregularidad es periódica y así discretizar las integrales que resultan de las condiciones de frontera se ha empleado para estudiar difracción de ondas SH en medios estratificados con interfase irregular (2) y para calcular los efectos de la topografía en la superficie (5). Este método está restringido a pendientes pequeñas. Para medios acústicos se ha obtenido solución exacta para una cavidad semiesférica y un cañón semicircular (41). Recientemente se ha propuesto, para ondas P y SV, un procedimiento que consiste en superponer ondas planas y satisfacer las condiciones de frontera, en la irregularidad y en la superficie del semiespacio, empleando un criterio de mínimos cuadrados (31). El método de los elementos finitos se ha empleado en problemas de propagación de ondas y amplificación recurriendo a la discretización de un dominio finito y especificando condiciones de frontera que tienden a reproducir la continuidad con el material fuera de la región de interés (3,22,28,42). En este contexto el empleo de las *fronteras activas eficientes* (3) ha permitido calcular amplificaciones en la superficie de depósitos aluviales y cañones ante incidencia de ondas planas SH.

En esta tesis se desarrolla un método alternativo para calcular la difracción de ondas sísmicas por cañones con sección transversal de forma arbitraria. Se hace uso de representaciones integrales de las ondas difrac-

tadas en las cuales la trayectoria de integración se localiza fuera de la frontera, obteniéndose así núcleos regulares. La inclusión de condiciones de frontera libre conduce a ecuaciones integrales de Fredholm de primera especie. La discretización se hace directamente con soluciones para fuentes lineales.

La idea de usar curvas de integración diferentes de la frontera ha sido empleada por De Mey (8) en la solución del programa interior de Laplace. De Mey resuelve el problema usando un criterio de colocación únicamente; requiere entonces de igual número de fuentes y puntos de colocación. Planteamientos similares han sido propuestos para problemas de la elastostática (7,13,26).

Aparentemente la idea en la que se basa la obtención de núcleos regulares no ha sido empleada en la solución de problemas de la elastodinámica. En este estudio dicha idea tiene la virtud de conducir a una formulación bastante simple, pues no hay que tratar explícitamente con las singularidades como ocurre con los métodos clásicos de ecuaciones integrales. Adicionalmente se emplea un criterio variacional de colocación y mínimos cuadrados que hace expedita la solución numérica.

La construcción de soluciones para fuentes lineales de ondas SH es inmediata; basta suponer funciones de Hankel para satisfacer condiciones de frontera libre en la superficie del semiespacio. Para tratar fuentes lineales de ondas P o SV en un semiespacio elástico el procedimiento no es tan simple, debido al acoplamiento de los potenciales al tratar condiciones de frontera. Lamb (19) obtuvo soluciones en términos de integrales desde principios del siglo; no obstante su evaluación numérica es complicada, aún con el empleo de calculadoras electrónicas. Se ha concentrado un esfuerzo considerable en este problema. Baste mencionar las soluciones asintóticas obtenidas por Lapwood (20), válidas para grandes distancias de la fuente, y la elegante solución de Garvin (11) para los desplazamientos en la superficie cuando se tiene una fuente de ondas P que varía en el tiempo como una función de Heaviside. Recientemente Aki y Larner (2) han ideado un método aproximado que consiste en suponer periodicidad espacial de las fuentes y obtener así representaciones en serie.

Dicho método ha sido aplicado por Bouchon y Aki (6) para modelar distintas clases de fuentes sísmicas y será usado en este trabajo para construir representaciones semianalíticas de fuentes de ondas P o SV.

Surgen preguntas sobre lo completo del conjunto de funciones y la convergencia del método. Los resultados son buenos y la convergencia se ilustra numéricamente. No se intentará aquí un tratamiento riguroso. Sin embargo, hay indicadores promisorios en esa dirección. Podría demostrarse, usando la teoría de la conectividad de Herrera (14,15), que el conjunto de fuentes es completo. El argumento sería similar al empleado para construir bases para algunos problemas relacionados con los que interesan (16). La misma teoría (14,15) probablemente permita demostrar que la solución empleando el criterio de mínimos cuadrados, como se hace aquí, converge a la exacta cuando el número de fuentes tiende a infinito. Estas ideas están relacionadas con un procedimiento propuesto por Millar (24), quien describe condiciones para la validez de la hipótesis de Rayleigh en problemas de difracción de ondas acústicas.

En los capítulos siguientes se presentan la formulación del problema, la solución numérica y se muestran resultados para cañones con distintas geometrías, en algunos casos dichos resultados se comparan con soluciones obtenidas mediante otros procedimientos. Más adelante se discuten algunas extensiones y aplicaciones del método, así como sus ventajas y limitaciones.

Parte del material que aquí se presenta ha sido ya publicado (36,39) o está por serlo (35, 40).

## 2. FORMULACION DEL PROBLEMA

Se establece a continuación la formulación para incidencia de ondas planas SH y P o SV recurriendo a la superposición de soluciones para fuentes lineales que satisfagan condiciones de frontera libre en la superficie del semiespacio. Dicha superposición de soluciones particulares se hace en términos de ecuaciones integrales de Fredholm de primera especie. Se presenta en cada caso la expresión del error cuadrático y se indica que se busca la solución que lo hace mínimo.

### 2.1 Incidencia de ondas SH

En la propagación de ondas armónicas SH, los desplazamientos en la dirección de  $z$  (fig 1) satisfacen la ecuación de Helmholtz

$$\frac{\partial^2 u_z}{\partial x^2} + \frac{\partial^2 u_z}{\partial y^2} + k_S^2 u_z = 0 \quad (1)$$

donde  $k_S = \omega/\beta =$  número de onda S,  $\omega =$  frecuencia circular,  $\beta = \sqrt{\mu/\rho} =$  velocidad de propagación de ondas S,  $\mu =$  módulo de rigidez al cortante y  $\rho =$  densidad del medio. La dependencia con respecto al tiempo está dada por  $\exp(i\omega t)$ , donde  $i = \sqrt{-1}$ , y  $t =$  tiempo.

La condición de frontera libre implica que en la superficie libre

$$t_z = \mu \frac{\partial u_z}{\partial n} = 0 \quad (2)$$

donde  $t_z$  = componente de esfuerzo en la dirección  $z$  y  $n$  = vector normal a la superficie del semiespacio o a la frontera del cañón (fig 2).

Considérese una onda plana de amplitud unitaria que asciende hacia la superficie del semiespacio elástico

$$u_z^{(i)} = \exp i\omega(t - \frac{x}{c_x} + \frac{y}{c_y}) \quad (3)$$

donde  $c_x = \beta/\sin \theta$ ,  $c_y = \beta/\cos \theta$  y  $\theta$  = ángulo de incidencia (fig 3). Para satisfacer la condición de frontera libre en  $y = 0$ , se deberá tener una onda reflejada dada por

$$u_z^{(r)} = \exp i\omega(t - \frac{x}{c_x} - \frac{y}{c_y}) \quad (4)$$

La solución de campo libre, en ausencia de irregularidad,  $u_z^{(0)} = u_z^{(i)} + u_z^{(r)}$  puede escribirse como

$$u_z^{(0)} = 2 \cos \left( \frac{\omega y}{c_y} \right) \exp i\omega(t - \frac{x}{c_x}) \quad (5)$$

Supóngase que la solución, incluyendo la influencia de la topografía, tiene la forma

$$u_z = u_z^{(0)} + u_z^{(d)} \quad (6)$$

donde  $u_z^{(d)}$  = desplazamientos debidos a las ondas difractadas. Supóngase que  $u_z^{(d)}$  puede expresarse como un potencial de capa simple (47) en una curva interior  $C$ ; entonces

$$u_z^{(d)}(P) = \int_C f(Q) G(P, Q) dS_Q \quad (7)$$

donde  $Q \in C$ ,  $P \in E \cup \partial E$  (fig 4),  $f(Q)$  = densidad de capa simple, una función que se determinará a partir de las condiciones de frontera, y

$G(P,Q)$  = función de Green para el punto  $Q$  en el semiespacio, esto es,  $G(P,Q)$  satisface

$$\left(\frac{\partial^2}{\partial x^2} + \frac{\partial^2}{\partial y^2} + k_S^2\right) G(P,Q) = -\delta(|\vec{r} - \vec{r}_0|) \quad (8)$$

con la condición de superficie libre

$$\frac{\partial G}{\partial y} = 0 \quad \text{en } y = 0$$

donde  $\delta(\cdot)$  = función delta de Dirac,  $\vec{r}$  = vector de posición del punto  $P$ , y  $\vec{r}_0$  = vector de posición del punto  $Q$ .

La función de Green está dada por

$$G(P,Q) = \frac{1}{4} \{H_0^{(2)}(k_S r_1) + H_0^{(2)}(k_S r_2)\} e^{i\omega t} \quad (9)$$

donde  $H_0^{(2)}(\cdot)$  = función de Hankel de la segunda clase y orden cero,  $r_1 = \overline{PQ}$  = distancia entre  $P$  y  $Q$ ,  $r_2 = \overline{PQ'}$  = distancia entre  $P$  y  $Q'$ ,  $Q'$  es el punto imagen de  $Q$  en el semiespacio superior. La ec 9 constituye una fuente de ondas SH en el punto  $Q$ ; más precisamente las funciones de Hankel representan ondas SH cilíndricas que se propagan al infinito con velocidad  $\beta$  y satisfacen la condición de radiación de Sommerfeld (43).

De las ecs 6 y 7 se puede escribir

$$u_z(P) = u_z^{(0)}(P) + \int_C f(Q) G(P,Q) dS_Q \quad (10)$$

donde  $P \in E \cup \partial E$ . Sustituyendo la ec 10 en la 2 para  $P \in \partial E$  se obtiene

$$\int_C f(Q) \frac{\partial G(P,Q)}{\partial n_P} dS_Q = -\frac{\partial u_z^{(0)}(P)}{\partial n_P}, \quad P \in \partial E \quad (11)$$

donde  $n_P$  = vector normal a la frontera  $\partial E$  en el punto  $P$ . Se trata de una ecuación integral de Fredholm de primera especie en la función incógnita  $f(Q)$ .

Para evitar dificultades numéricas debidas a la posible coincidencia de

$k_S$  con los eigenvalores de un problema interior en la región limitada por  $C$  y  $\Gamma$  (Apéndice B), la solución se obtiene en el sentido de mínimos cuadrados, esto es, una solución para la cual el error medio cuadrático

$$\int \frac{\partial E}{\partial \epsilon} \left| \frac{\partial u_z^{(d)}(P)}{\partial n_P} + \frac{\partial u_z^{(0)}(P)}{\partial n_P} \right|^2 dS_P \quad (12)$$

sea mínimo.

## 2.2 Incidencia de ondas P o SV

Para formular el problema de propagación de ondas armónicas P o SV considérense los potenciales usuales  $\phi$  y  $\psi$  (10), que satisfacen la ecuación de Helmholtz

$$\frac{\partial^2 \phi}{\partial x^2} + \frac{\partial^2 \phi}{\partial y^2} + k_P^2 \phi = 0 \quad (13)$$

$$\frac{\partial^2 \psi}{\partial x^2} + \frac{\partial^2 \psi}{\partial y^2} + k_S^2 \psi = 0 \quad (14)$$

donde  $k_P = \omega/\alpha =$  número de onda P,  $\alpha = \sqrt{(\lambda+2\mu)/\rho} =$  velocidad de propagación de ondas P y  $\lambda =$  constante de Lamé. Los desplazamientos  $u_x$  y  $u_y$  en términos de  $\phi$  y  $\psi$  están dados por

$$u_x = \frac{\partial \phi}{\partial x} - \frac{\partial \psi}{\partial y} \quad (15)$$

$$u_y = \frac{\partial \phi}{\partial y} + \frac{\partial \psi}{\partial x} \quad (16)$$

Los esfuerzos en el medio pueden escribirse como

$$\sigma_x = (\lambda+2\mu) \frac{\partial u_x}{\partial x} + \lambda \frac{\partial u_y}{\partial y} \quad (17)$$

$$\sigma_y = \lambda \frac{\partial u_x}{\partial x} + (\lambda+2\mu) \frac{\partial u_y}{\partial y} \quad (18)$$

$$\tau_{xy} = \mu \left( \frac{\partial u_x}{\partial y} + \frac{\partial u_y}{\partial x} \right) \quad (19)$$

Las condiciones de frontera libre implican que en la superficie libre



$$t_x = \sigma_x \cos \theta_n - \tau_{xy} \sin \theta_n = 0 \quad (20)$$

$$t_y = \tau_{xy} \cos \theta_n - \sigma_y \sin \theta_n = 0 \quad (21)$$

donde  $t_x$ ,  $t_y$  = componentes de esfuerzo en las direcciones  $x$ ,  $y$  respectivamente,  $\theta_n$  = ángulo medido de la dirección positiva del eje  $x$  al vector  $n$  (fig 2).

Los potenciales  $\phi^{(0)}$  y  $\psi^{(0)}$  de la solución de campo libre, omitiendo el factor  $\exp(i\omega t)$ , pueden escribirse como

$$\phi^{(0)} = A_1 \exp[-ik_p(x \cos e - y \sin e)] + A_2 \exp[-ik_p(x \cos e + y \sin e)] \quad (22)$$

$$\psi^{(0)} = B_1 \exp[-ik_s(x \cos f - y \sin f)] + B_2 \exp[-ik_s(x \cos f + y \sin f)] \quad (23)$$

donde  $A_1$ ,  $A_2$  = amplitudes de las ondas P incidente y reflejada,  $B_1$ ,  $B_2$  = amplitudes de las ondas SV incidente y reflejada, y  $e, f$  = ángulos de incidencia y reflexión (fig 5). Para ondas incidentes P es claro que  $B_1 = 0$ . Con objeto de lograr que  $\sigma_y = 0$  y  $\tau_{xy} = 0$  en  $y = 0$  las amplitudes de las ondas reflejadas deben satisfacer las relaciones

$$\frac{A_2}{A_1} = \frac{4 \tan e \tan f - (\tan^2 f - 1)^2}{4 \tan e \tan f + (\tan^2 f - 1)^2} \quad (24)$$

$$\frac{B_2}{B_1} = \frac{4 \tan e (\tan^2 f - 1)}{4 \tan e \tan f + (\tan^2 f - 1)^2} \quad (25)$$

De manera similar, para ondas incidentes SV ( $A_1 = 0$ ) las expresiones correspondientes para amplitudes de las ondas reflejadas son

$$\frac{A_2}{B_1} = \frac{4 \tan f (\tan^2 f - 1)}{4 \tan e \tan f + (\tan^2 f - 1)^2} \quad (26)$$

$$\frac{B_2}{B_1} = \frac{4 \tan e \tan f - (\tan^2 f - 1)^2}{4 \tan e \tan f + (\tan^2 f - 1)^2} \quad (27)$$

La relación entre los ángulos  $f$  y  $e$  está dada por  $\cos f = (\beta/\alpha) \cos e$ .

Supóngase que la solución, incluyendo las ondas difractadas por el cañón, tiene la forma

$$\underline{u} = \underline{u}^{(0)} + \underline{u}^{(d)} \quad (28)$$

donde  $\underline{u} = [u_x, u_y]^T$ ,  $\underline{u}^{(0)} = [u_x^{(0)}, u_y^{(0)}]^T$ ,  $\underline{u}^{(d)} = [u_x^{(d)}, u_y^{(d)}]^T$ ,  $u_x^{(0)}$ ,  $u_y^{(0)}$  = desplazamientos de la solución de campo libre en términos de  $\phi^{(0)}$  y  $\psi^{(0)}$ , y  $u_x^{(d)}$ ,  $u_y^{(d)}$  = desplazamientos debidos a las ondas difractadas en términos de potenciales difractados  $\phi^{(d)}$ ,  $\psi^{(d)}$ .

Extendiendo las ideas del caso SH se tiene que

$$\phi^{(d)}(P) = \int_{C_1} g(Q) \phi_1(P, Q) dS_Q + \int_{C_2} h(Q) \phi_2(P, Q) dS_Q \quad (29)$$

$$\psi^{(d)}(P) = \int_{C_1} g(Q) \psi_1(P, Q) dS_Q + \int_{C_2} h(Q) \psi_2(P, Q) dS_Q \quad (30)$$

donde  $P \in E \cup \partial E$ ,  $Q \in C_1$  ó  $Q \in C_2$  (fig 5),  $g(\cdot)$ ,  $h(\cdot)$  = densidades de capa simple, funciones desconocidas por determinarse,  $\phi_1, \psi_1$  = potenciales para una fuente lineal de ondas P y  $\phi_2, \psi_2$  = potenciales para una fuente lineal de ondas SV. En el Apéndice C se dan las expresiones para  $\phi_1, \phi_2, \psi_1$  y  $\psi_2$  y se describe brevemente el procedimiento para su uso numérico.

Sustituyendo las ecs 29 y 30 en las 15 y 16 y tomando en cuenta la ec 28, se obtiene

$$\underline{u}(P) = \underline{u}^{(0)}(P) + \int_{C_1} g(Q) \underline{u}^{(1)}(P, Q) dS_Q + \int_{C_2} h(Q) \underline{u}^{(2)}(P, Q) dS_Q \quad (31)$$

donde  $P \in E \cup \partial E$ ,  $\underline{u}^{(1)}(P, Q)$ ,  $\underline{u}^{(2)}(P, Q)$  = vectores de desplazamiento en el punto P debidos a fuentes unitarias de ondas P y SV respectivamente, localizadas en el punto Q. Para el vector  $\underline{t} = [t_x, t_y]^T$  puede escribirse una expresión similar y para  $P \in \partial E$ , la frontera del cañón, las ecs 20 y 21 conducen a

$$\int_{C_1} g(Q) \underline{t}^{(1)}(P, Q) dS_Q + \int_{C_2} h(Q) \underline{t}^{(2)}(P, Q) dS_Q = -\underline{t}^{(0)}(P), P \in \partial E \quad (32)$$

Esta expresión constituye un sistema de ecuaciones integrales de Fredholm

de primera especie. Como en el caso SH, se resuelve el sistema de manera que el error cuadrático

$$\int_{\partial E} |\underline{t}^{(d)}(P) + \underline{t}^{(0)}(P)|^2 dS_P \quad (33)$$

sea mínimo. En la expresión 33,  $\underline{t}^{(d)}$  = vector esfuerzo debido a las ondas difractadas.

### 3. SOLUCION NUMERICA

En la solución numérica se empleará discretización puntual con fuentes li neales, y para satisfacer las condiciones de frontera, se emplea un criterio de colocación y mínimos cuadrados. El énfasis se pone en la representación del campo más que en la solución de las ecuaciones integrales mismas.

#### 3.1 Ondas SH

Sea  $f(\cdot)$  de la forma

$$f(Q) = \sum_{m=1}^M f_m \delta(|Q - Q_m|) \quad Q, Q_m \in C \quad (34)$$

donde  $M$  = número de fuentes SH de amplitud  $f_m$  en puntos  $Q_m \in C$ , y  $\delta(\cdot)$  = función delta de Dirac. Así las ecs 10 y 11 se pueden escribir como

$$u_z(P) = u_z^{(0)}(P) + \sum_{m=1}^M f_m G(P, Q_m) \quad (35)$$

y

$$\sum_{m=1}^M f_m \frac{\partial G(P, Q_m)}{\partial n_P} = - \frac{\partial u_z^{(0)}(P)}{\partial n_P} \quad (36)$$

Para encontrar las  $M$  incógnitas  $f_m$ ,  $m = 1, 2, \dots, M$  impóngase la condición

de la ec 36 en  $L$  puntos  $P_\ell$  de la frontera del cañón; así

$$\sum_{m=1}^M f_m \frac{\partial G(P_\ell, Q_m)}{\partial n_{P_\ell}} = - \frac{\partial u_z^{(0)}(P_\ell)}{\partial n_{P_\ell}}, \quad \ell = 1, 2, \dots, L \quad (37)$$

Esta expresión representa un problema estándar de álgebra lineal de  $L$  ecuaciones con  $M$  incógnitas. Si  $L = M$  el sistema está completamente determinado, pero la solución sólo satisface la condición de frontera en  $L$  puntos de colocación en la superficie del cañón y se requieren valores de  $L$  y  $M$  muy grandes para lograr soluciones aceptables. No obstante, haciendo  $L > M$ , esto es, sin modificar el número de fuentes se aumenta el número de puntos de colocación, se introduce más información de la frontera y se resuelve el sistema de manera que el error cuadrático sea mínimo. El sistema de ecuaciones de la ec 37 puede escribirse como

$$[A_{\ell m}] \{f_m\} = \{b_\ell\} \quad (38)$$

La solución que minimiza el error cuadrático (Apéndice D) se obtiene de resolver el sistema

$$[A_{\ell m}^*]^T [W] [A_{\ell m}] \{f_m\} = [A_{\ell m}^*]^T [W] \{b_\ell\} \quad (39)$$

donde  $[A_{\ell m}^*]^T$  = transpuesta conjugada de la matriz de coeficientes y  $[W]$  = matriz diagonal de pesos para cada ecuación. El sistema resultante es de orden  $M \times M$ .

Una vez obtenidos los valores de  $f_m$ ,  $m = 1, 2, \dots, M$ , la ec 35 permite calcular el desplazamiento en cualquier punto de la región  $E$  y su frontera. La solución de la ec 39 es la equivalencia discreta de la obtención del mínimo en la expresión 12. En el Apéndice E se describe el programa para calculadora digital que se ha elaborado para realizar los cálculos.

### 3.2 Ondas P o SV

Sean  $g(\cdot)$  y  $h(\cdot)$  de las formas

$$g(Q) = \sum_{m=1}^M g_m \delta(|Q - Q_m|) \quad Q, Q_m \in C_1 \quad (40)$$

$$h(Q) = \sum_{n=1}^N h_n \delta(|Q-Q_n|) \quad Q, Q_n \in C_2 \quad (41)$$

donde  $M$  = número de fuentes de ondas  $P$  con amplitud  $g_m$  en puntos  $Q_m \in C_1$ ,  
 $N$  = número de fuentes de ondas  $SV$  con amplitud  $h_n$  en puntos  $Q_n \in C_2$ , y  
 $\delta(\cdot)$  = función delta de Dirac. Las ecs 31 y 32 quedan

$$\tilde{u}(P) = \tilde{u}^{(0)}(P) + \sum_{m=1}^M g_m \tilde{u}^{(1)}(P, Q_m) + \sum_{n=1}^N h_n \tilde{u}^{(2)}(P, Q_n) \quad (42)$$

y

$$\sum_{m=1}^M g_m \tilde{t}^{(1)}(P, Q_m) + \sum_{n=1}^N h_n \tilde{t}^{(2)}(P, Q_n) = -\tilde{t}^{(0)}(P) \quad (43)$$

Al imponer la condición de la ec 43 en  $L$  puntos  $P_\ell$  de la frontera  $\partial E$ , se obtiene

$$\sum_{m=1}^M g_m \tilde{t}^{(1)}(P_\ell, Q_m) + \sum_{n=1}^N h_n \tilde{t}^{(2)}(P_\ell, Q_n) = -\tilde{t}^{(0)}(P_\ell), \quad \ell = 1, 2, \dots, L \quad (44)$$

que es un sistema de  $2L$  ecuaciones con  $M + N$  incógnitas. Se toma  $2L > M+N$  y se resuelve como antes en el sentido de mínimos cuadrados. Conocidos  $g_m$ ,  $m = 1, 2, \dots, M$ ,  $h_n$ ,  $n = 1, 2, \dots, N$  la expresión 42 permite calcular los desplazamientos en cualquier punto de la región  $E$  y su frontera. Los cálculos numéricos se hacen con un programa que se describe brevemente en el Apéndice E.

#### 4. RESULTADOS

Para apreciar la precisión del método, se han calculado desplazamientos en puntos de la superficie libre de un cañón con sección semicircular cuando inciden ondas planas SH con diferentes ángulos de incidencia y frecuencias normalizadas

$$\eta = \frac{k_s a}{\pi} = \frac{2 \alpha}{\Lambda} \quad (45)$$

donde  $\Lambda$  = longitud de la onda incidente,  $a$  = radio del cañón y  $\eta$  = relación del ancho del cañón a la longitud de onda incidente.

En las tablas 1-3 se presentan las partes real e imaginaria de  $u_z$  para  $\eta = 0.5, 1.0, 2.0$ , y  $\theta = 30^\circ, 60^\circ, 90^\circ$ . En los cálculos se han usado distintos valores de  $M$ , el número de fuentes SH. En dichas tablas se presentan, a manera de comparación, los valores exactos calculados con la solución de Trifunac (46). Se usó una semicircunferencia con radio  $0.8a$  como curva interior  $C$  y se tomaron 99 puntos de colocación en la frontera. Puede apreciarse la convergencia de las soluciones a medida que el número de fuentes aumenta.

El método se ha aplicado también para estudiar incidencia de ondas SH en un cañón semielíptico (39); la concordancia observada con la solución

exacta (50) es excelente.

La fig 7 muestra las partes real e imaginaria del campo difractado  $u_z^{(d)}$  en una porción de la superficie de un cañón triangular para dos diferentes profundidades, ángulo de incidencia  $\theta = -45^\circ$  y frecuencia normalizada  $\eta = 0.1/\pi$ . Estos resultados se comparan con los obtenidos por medio de ajuste de desarrollos asintóticos (32). Las curvas muestran tendencias similares; la concordancia en el caso del cañón poco profundo es bastante buena. Aunque no se puede asegurar que la solución, empleando desarrollos asintóticos ajustados, sea exacta para  $\eta = 0.1/\pi$ , el error en el campo total es pequeño.

En las figs 8-10 se exhiben las amplitudes  $|u_z|$  en la superficie de un cañón triangular con taludes a  $45^\circ$  y ancho  $2a$ , para  $\eta = 0.25, 0.5, 1.0$  y  $\theta = 0^\circ, 45^\circ, 90^\circ$ . Se colocaron fuentes a lo largo de líneas paralelas a los taludes separadas de estos una distancia  $0.07a$ . Se tomaron 99 puntos de colocación en la frontera. El vértice del triángulo se ha suavizado con un segmento de circunferencia tangente a los bordes.

Para el mismo cañón triangular la fig 11 muestra la comparación de resultados obtenidos con el presente método y con el método del elemento finito usando fronteras activas eficientes (3) para dos frecuencias normalizadas  $\eta = 0.25, 0.5$  e incidencia vertical. En la misma figura se aprecia el tamaño relativo del dominio discretizado. La concordancia entre las soluciones es satisfactoria.

Para ondas incidentes P y SV se han calculado los desplazamientos horizontal y vertical. Se han tomado en cada caso una longitud de onda incidente  $\Lambda = 4\pi a$  y tres diferentes ángulos de incidencia  $\theta = 0^\circ, 30^\circ, 60^\circ$  ( $\theta = 90^\circ - e$  para ondas incidentes P y  $\theta = 90^\circ - f$  para ondas incidentes SV). En todos los casos se usaron 15 fuentes de 50 puntos de colocación en la frontera. Las curvas  $C_1$  y  $C_2$  fueron semicircunferencias con radios  $0.6a$  y  $0.7a$  respectivamente. Se supuso  $\lambda = \mu$  lo que da un módulo de Poisson de 0.25. Las figs 12 y 13 presentan las amplitudes normalizadas de los desplazamientos horizontal y vertical.



En la fig 14 se muestran también amplitudes normalizadas de los desplazamientos vertical y horizontal en la superficie de un cañón triangular, de ancho  $2a$  y profundidad  $h = 0.62a$ , ante incidencia vertical de ondas P con dos diferentes longitudes de onda  $\Lambda = 4h, 10h$ . Se usaron 17 fuentes en total y 50 puntos de colocación en la frontera.

La influencia de la pendiente en el espectro de amplitudes se ilustra en las figs 15 y 16 para cañones senoidales y triangulares, respectivamente, con distintas profundidades. Se consideraron ondas SH de incidencia vertical y se mantuvo la longitud de onda  $\Lambda = 5h$ , donde  $h =$  profundidad. En estos casos se usaron 19 fuentes y 99 puntos de colocación en la frontera. Como antes, se ha suavizado el vértice en los cañones triangulares.

Las tendencias generales en amplificaciones y reducciones previamente observadas para otras geometrías (5,46,49,50) se presentan también en cañones triangulares ante incidencia de ondas SH y P, y para el cañón semicircular cuando inciden ondas P y SV. Para el intervalo de los parámetros considerado, en general se aprecian reducciones en el fondo y amplificaciones en los bordes para incidencia vertical.

A medida que el ángulo de incidencia aumenta, el cañón actúa más como una barrera de ondas sísmicas, pudiendo notarse reducciones en uno de los bordes y grandes amplificaciones en el otro. Este efecto de barrera se incrementa para cañones profundos y, especialmente, para altas frecuencias. En las tablas 1-3 se pueden apreciar amplificaciones cercanas a 100 por ciento en un borde del cañón semicircular. Dicho borde, para altas frecuencias, tiende a comportarse como el vértice de un cuarto de espacio, lo que explica la amplificación observada. En un trabajo reciente (33) se han encontrado, ante incidencia de ondas SH, amplificaciones superiores a 100 por ciento en uno de los bordes de un cañón con sección rectangular. Ante incidencia de ondas P o SV el efecto de barrera es notable; para la longitud de onda estudiada se encontró una amplificación superior a 100 por ciento en el movimiento horizontal de uno de los bordes del cañón semicircular en el caso de incidencia de ondas P a  $60^\circ$ . En el caso SV la amplificación apreciada fue de 60 por ciento en uno de los bordes. En el fondo se encontró una reducción de 80 por ciento. En ambos casos los des

plazamientos horizontales son los que experimentan mayores variaciones.

La influencia de la profundidad del cañón es significativa. Este efecto se aprecia en las figs 15 y 16 donde las reducciones aumentan con la pendiente.

Los errores en las soluciones calculadas para ondas SH no exceden de 1 por ciento. Esto se logró modificando el número de fuentes y puntos de colocación hasta alcanzar convergencia. El número de fuentes necesario en el rango de frecuencias estudiado es aproximadamente  $10 + 3\eta$ , donde  $\eta$  = frecuencia normalizada.

Para ondas P o SV no pudo obtenerse una regla empírica semejante. Los cálculos son largos y emplean un tiempo de máquina que, por el momento, hace prohibitivos los experimentos numéricos. No obstante, en las soluciones calculadas los errores relativos para los esfuerzos no exceden a 10 por ciento y los desplazamientos calculados con más fuentes no indican diferencias significativas. Debe notarse que estos resultados se refieren a frecuencias bajas.

La forma de las curvas en que se localizaron las fuentes fue en todos los casos la misma que la de la frontera. Unas pocas experiencias numéricas permitieron definir distancias medias entre las curvas y la frontera para las que los resultados eran aceptables. Definir los valores óptimos para dichas distancias requerirá escrutinio adicional.

Las formas oscilatorias de las funciones de Hankel y de la excitación, hacen pensar que el criterio de colocación y mínimos cuadrados podría dar lugar a grandes variaciones de la solución en los segmentos comprendidos entre puntos de colocación. En efecto, esto ocurre particularmente para altas frecuencias. Sin embargo, debe notarse que esta dificultad también se presenta en otros métodos al integrar sobre la frontera ya que, estando las funciones de Hankel involucradas, necesariamente la integración debe ser numérica. El procedimiento usado es equivalente a integrar con una regla trapezoidal o, usando factores de peso apropiados en los puntos de colocación, con una regla parabólica de Simpson. En la fig 17 se exhibe

la variación del error absoluto entre tres puntos de colocación situados en el fondo del cañón semicircular, para ondas incidentes SH con  $\theta = 30^\circ$ . Las variaciones que se muestran ahí son típicas entre puntos de colocación. Puede apreciarse que los errores máximos aumentan sensiblemente de manera exponencial con  $\Delta/\Lambda$ , donde  $\Delta$  = longitud de la frontera entre puntos de colocación y  $\Lambda$  = longitud de onda incidente. Para mantener errores inferiores a 0.01,  $\Delta/\Lambda \approx 0.15$  es una regla conservadora.

## 5. EXTENSIONES Y APLICACIONES

Se ha aplicado con éxito una extensión del método para determinar amplificaciones en la superficie de depósitos aluviales ante incidencia de ondas SH (36). La extensión consiste en establecer para los problemas exterior e interior representaciones del campo similares a las empleadas aquí y construir un sistema de ecuaciones integrales al imponer las condiciones de continuidad y equilibrio en la interfase. La fig 18 muestra la definición de las curvas y regiones de los problemas exterior e interior para esta extensión. La concordancia con soluciones analíticas para depósitos semicircular (44) y semiélíptico (51) es excelente (36). De manera similar se podría tratar difracción por topografías salientes.

El método puede usarse para estudiar las amplificaciones en depósitos aluviales y, con algunas modificaciones, empujes dinámicos en muros de retención ante incidencia de ondas P o SV. Para este mismo tipo de incidencia se podrían calcular presiones hidrodinámicas en presas considerando interracción agua-vaso, podría validarse la solución aproximada que se ha obtenido para un depósito con sección semicircular ante incidencia vertical de ondas P (34).

El estudio de la difracción de ondas SH por túneles es factible de inme-

diato (37). La aplicación del método permitirá obtener soluciones para factores de concentración de esfuerzos en túneles a distintas profundidades e investigar los efectos de las reflexiones en la superficie. Aparentemente para este problema no hay soluciones analíticas publicadas. Con algunas modificaciones al método se estará en condiciones de analizar túneles con recubrimiento.

En problemas bidimensionales de interacción suelo-estructura el método se podría aplicar para investigar la influencia de la forma de la base. Existen soluciones analíticas para bases rígidas con secciones semicircular y semielíptica (45,21). La comparación con ellas permitiría apreciar la bondad del método.

El método parece ser particularmente apropiado para resolver la ecuación de Laplace en dos dimensiones (38). Falta, sin embargo, demostrar sus ventajas sobre otros procedimientos.

El método presentado comparte las ventajas de los métodos de integrales de frontera, se reduce en uno la dimensión del problema, sin algunas de sus dificultades; como el tratamiento explícito de las singularidades. La reducción de las dimensiones hace que el método sea más eficiente que otros en los que se discretiza el dominio. La ventaja se acentúa si la única frontera que hay que discretizar es la de la irregularidad.

Debido a que cada fuente lleva consigo su singularidad, el método es una herramienta versátil y permite, por ejemplo, el tratamiento de difracción por túneles, cosa que no es posible con métodos que mantienen las singularidades en la superficie.

El método es limitado para muy altas frecuencias debido a que habría que usar un gran número de fuentes. El empleo de aproximaciones asintóticas permitiría reducir esta desventaja. Por otra parte, la definición de las distancias óptimas entre las fuentes y la frontera depende de cada problema particular. No se dan aquí reglas precisas; estas dependen de los criterios de convergencia y de las características del problema. Unas pocas experiencias han sido suficientes para los casos analizados.

## 6. CONCLUSIONES

Se ha desarrollado un método para resolver el problema de difracción de ondas sísmicas planas por cañones de forma arbitraria. El método se basa en el principio de superposición; se combinan soluciones particulares para formular ecuaciones integrales de Fredholm. Con objeto de trabajar con núcleos regulares se seleccionan curvas de integración fuera de la frontera.

La discretización con fuentes lineales y el criterio de colocación y mínimos cuadrados simplifican el tratamiento numérico y conduce a soluciones estables y precisas.

Se han obtenido soluciones para distintas geometrías en las que se aprecian, en general, reducciones en el fondo para incidencia vertical. Ante incidencia oblicua se encontraron grandes amplificaciones en un borde y reducciones en el otro. Este efecto de barrera debe tomarse en cuenta en diseño de puentes, o presas pues los movimientos de sus apoyos pueden presentar grandes diferencias.

Se han discutido extensiones y posibles aplicaciones del método. Este promete ser una herramienta útil para tratar algunos problemas de difracción en elastodinámica y en otros campos en que se pueda construir una función de Green o soluciones equivalentes.

## 7. RECONOCIMIENTOS

Se agradece a E Rosenblueth la supervisión de este trabajo así como su alentadora y estimulante atención durante el desarrollo del mismo, a G R Aranda, G Ayala, L Esteva, R Flores, I Herrera, R Melí, A A Minzoni, E Rukos, S E Ruiz, F J Sabina y S K Singh sus observaciones y sugerencias; a J A Esquivel su amplia colaboración en varios aspectos de la investigación. G R Aranda prestó el programa para los cálculos con el método de elementos finitos y J N Dyer facilitó la subrutina para el cálculo de las funciones de Hankel.

## 8. REFERENCIAS

1. Abramowitz, M y Stegun, I A, *Handbook of mathematical functions*, Dover Publications Inc, Nueva York (1970)
2. Aki, K y Larner, K L, "Surface motion of a layered medium having an irregular interface due to incident plane SH waves", *J Geophys Res*, 75, 5 (1970), 933-954
3. Aranda, G R y Ayala, G A, "Modelo numérico eficiente de aplicación en estudios de amplificación dinámica", presentado en la *Conferencia Centro Americana de Ingeniería Sísmica*, San Salvador, El Salvador (ene 1978)
4. Boore, D M, "A note on the effect of simple topography on seismic SH waves", *Bull Seism Soc Am*, 62, 1 (1972), 275-284
5. Bouchon, M, "Effect of topography on surface motion", *Bull Seism Soc Am*, 63, 3 (1973), 615-632
6. Bouchon, M y Aki, K, "Discrete wave-number representation of seismic-source wave fields", *Bull Seism Soc Am*, 67, 2 (1977), 259-277
7. Chlicurel, R y Suppiger, E W, "The reflection method in elasticity and bending of plates", *ZAMP*, 15 (1964), 629-638



8. De Mey, G, "Integral equations for potential problems with the source function not located on the boundary", *J Computers & Structures*, 8, 1 (1978), 113-115
9. Esteve, L, "Microzoning: models and reality", *Proc 6th World Conf on Earthq Engrg*, New Delhi, India (ene 10-14, 1977)
10. Ewing, W M, Jardetzky, W S y Press, F, *Elastic waves in layered media*, McGraw-Hill Book Co, Nueva York (1957)
11. Garvin, W W, "Exact transient solution of the buried line source problem", *Phil Trans Roy Soc London, Ser A*, 234 (1956), 528-541
12. Gilbert, F y Knopoff, L, "Seismic scattering from topographic irregularities", *J Geophys Res*, 65 (1960), 3437-3444
13. Heise, U, "Numerical properties of integral equations in which the given boundary values and the sought solutions are defined on different curves", *J Computers & Structures*, 8, 2 (1978), 199-205
14. Herrera, I, "General variational principles applicable to the hybrid element method", *Proc National Academy of Sciences, USA*, 74 (1977), 2595-2597
15. Herrera, I, "Theory of connectivity for formally symmetric operators", *Proc National Academy of Sciences, USA*, 74 (1977), 4722-4725
16. Herrera, I y Sabina, F J, "Connectivity as an alternative to boundary integral equations. Construction of bases", *Proc National Academy of Sciences, USA*, 75 (1978), 2059-2063
17. Hsu, H P, *Análisis de Fourier*, Fondo Educativo Interamericano, Nueva York (1973)
18. Hudson, D E, "Local distribution of strong earthquake motion", *Bull Seism Soc Am*, 62 (1972), 1765-1786
19. Lamb, H, "On the propagation of tremors at the surface of an elastic solid", *Phil Trans Roy Soc London, Ser A*, 203 (1904), 1-42

20. Lapwood, E R, "The disturbance due to a line source in a semi-infinite elastic medium", *Phil Trans Roy Soc London, Ser A*, 242 (1949), 63-100
21. Luco, J E, Wong, H L y Trifunac, M D, "A note on the dynamic response of rigid embedded foundations", *Earthq Engrg and Structl Dyn*, 4, (1975), 119-127
22. Lysmer, J y Kuhlemeyer, R L, "Finite dynamic model for infinite media", *J of the Engrg Mechs Division, Proc ASCE*, 95, EM4 (1969), 859-877
23. McIvor, I K, "Two dimensional scattering of a plane compressional wave by surface imperfections", *Bull Seism Soc Am*, 59 (1969), 1349-1364
24. Millar, R F, "The Rayleigh hypothesis and a related least-squares solution of scattering problems for periodic surfaces and other scatterers", *Radio Science*, 8 (1973), 785-796
25. Ng, S F, "A collocation least square solution of boundary value problems in applied mechanics", en *Computer aided engineering*, Gladwell, G M L ed, *University of Waterloo Press*, Ontario, Canadá (1971), 395-402
26. Oliveira, E R, "Plane stress analysis by a general integral method", *J Eng Mech Div, Proc ASCE*, 94, EM1 (1968), 79-101
27. Poceski, A, "The ground effects on the Skopje July 26, 1969 earthquake", *Bull Seism Soc Am*, 59, 1 (1969), 1-29
28. Robinson, A R, "The transmitting boundary again", en *Structural and Geotechnical mechanics*, W J Hall ed, Prentice-Hall, Inc, Englewood Cliffs, N J (1977), 163-177
29. Rosenblueth, E, "Soil and rock mechanics in earthquake engineering", *Proc Int Symp on Dynamical Methods in Soil and Rock Mechanics (DISR 77)*, en *Rock dynamics and geophysical aspects, Vol 3*, G W Borm, ed, Karlsruhe, Alemania (sep 5-16,1977), 3-62
30. Ruiz, S E, "Influencia de las condiciones locales en las características de los sismos", *Instituto de Ingeniería, UNAM* 387 (1977)

31. Ruiz, S E y Esteva, L, "Efecto de la topografía en los movimientos del suelo provocados por ondas planas P y SV", en *Evaluación del riesgo-efectos locales, etapa I*, Instituto de Ingeniería, UNAM (mar 1978)
32. Sabina, F J y Willis, J R, "Scattering of SH waves by a rough half-space of arbitrary slope", *Geophys J R Astr Soc*, 42 (1975), 685-703
33. Sabina, F J, Herrera, I e England, R, "Theory of connectivity: applications to scattering of seismic waves. I. SH wave motion", *Proc of the 2nd Int Conf on Microzonation*, San Francisco, California (nov 26-dic 1°, 1978) (en prensa)
34. Sánchez-Sesma, F J, "Presión hidrodinámica con interacción agua-vaso", *Ingeniería*, 47, 3 (1977), 228-233
35. Sánchez-Sesma, F J, "Ground motion amplification due to canyons of arbitrary shape", *Proc of the 2nd Int Conf on Microzonation*, San Francisco, California (nov 26-dic 1°, 1978) (en prensa)
36. Sánchez-Sesma, F J y Esquivel, J A, "Ground motion on alluvial valleys under incident plane SH waves", presentado en el *Twelfth International Symposium on Mathematical Geophysics*, Caracas, Venezuela (ago 14-24, 1978)
37. Sánchez-Sesma, F J y Esquivel, J A, "Scattering of SH waves by tunnels", en preparación, *Instituto de Ingeniería, UNAM* (1978)
38. Sánchez-Sesma, F J, Esquivel, J A y Palencia, V J, "Una solución numérica de la ecuación de Laplace", presentado en el *XIII Congreso Nal de Matemáticas*, Puebla (nov 5-11, 1978)
39. Sánchez-Sesma, F J y Rosenblueth, E, "Movimiento del terreno en depresiones bidimensionales de forma arbitraria ante incidencia de ondas SH planas" en *Evaluación del riesgo-efectos locales, etapa I*, Instituto de Ingeniería, UNAM, México (mar 1978), *Ingeniería Sísmica* (en prensa)

40. Sánchez-Sesma, F J y Rosenblueth, E, "Ground motion at canyons of arbitrary shape under incident SH waves", sometido para su posible publicación en *Earthq Engrg Structl Dyn* (1978)
41. Singh, S K y Sabina, F J, "Ground-motion amplification by topographic depressions for incident P wave under acoustic approximation", *Bull Seism Soc Am*, 67, 2 (1977), 345-352
42. Smith, W D, "A nonreflecting boundary for wave propagation problems", *J of Computational Physics*, 15, 4 (1974), 492-503
43. Sommerfeld, A, *Partial Differential Equations in Physics*, Academic Press, Inc, Nueva York (1949)
44. Trifunac, M D, "Surface motion of a semi-cylindrical alluvial valleys for incident plane SH-waves", *Bull Seism Soc Am*, 61, 6 (1971), 1755-1770
45. Trifunac, M D, "Interaction of a shear wall with the soil for incident plane SH waves", *Bull Seism Soc Am*, 62, 1 (1972), 63-83
46. Trifunac, M D, "Scattering of plane SH waves by a semi-cylindrical canyon", *Earthq Engrg and Structl Dyn*, 1 (1973), 267-281
47. Ursell, F, "On the exterior problems of acoustics", *Proc Camb Phil Soc*, 74 (1973), 117-125
48. Waas, G, "Analysis method for footing vibrations through layered media", US Army Engineer Waterways Experiment Station, Soils and Pavements Laboratory, Tech Report S-71-14, Vicksburg, Mississippi (sep 1972)
49. Wong, H L y Jennings, P C, "Effects of canyon topography on strong ground motion", *Bull Seism Soc Am*, 65,5 (1975), 1239-1257
50. Wong, H L y Trifunac, M D, "Scattering of plane SH waves by a semi-elliptical canyon", *Earthq Engrg and Structl Dyn*, 3 (1973), 157-169
51. Wong, H L y Trifunac, M D, "Surface motion of a semi-elliptical alluvial valley for incident plane SH waves", *Bull Seism Soc Am*, 64, 5 (1974), 1389-1408

Tabla 1. Comparación de resultados con la solución exacta, cañón semicircular,  $\eta = 0.50$

x/A	$\eta = 0.50$		$\theta = 30.00$				EXACTA	
	M= 10		15		20			
-1.50	1.58050	2.34561	1.58499	2.34411	1.58567	2.34345	1.58597	2.34345
-1.00	1.78212	2.50086	1.79853	2.51549	1.80367	2.52048	1.80367	2.52048
-0.50	0.26967	1.18741	0.27035	1.18490	0.27065	1.18443	0.27064	1.18443
0.00	-0.37513	1.32332	-0.37752	1.33098	-0.37746	1.33235	-0.37746	1.33235
0.50	0.11779	1.13952	0.11346	1.15365	0.11203	1.15642	0.11202	1.15643
1.00	1.33354	-1.04309	1.32919	-1.12375	1.32788	-1.14951	1.32787	-1.14951
1.50	1.17565	-1.51192	1.16390	-1.52688	1.16050	-1.52934	1.16050	-1.52934

x/A	$\eta = 0.50$		$\theta = 60.00$				EXACTA	
	M= 10		15		20			
-1.50	-0.35111	2.76297	-0.36179	2.77166	-0.36363	2.77404	-0.36363	2.77404
-1.00	0.05580	3.42918	0.00487	3.43468	-0.01118	3.43636	-0.01119	3.43634
-0.50	1.34090	1.89831	1.35122	1.89879	1.35326	1.89902	1.35327	1.89901
0.00	1.55088	0.68743	1.56362	0.68570	1.56577	0.68548	1.56577	0.68549
0.50	0.97520	-0.20820	0.98511	-0.20577	0.98698	-0.20502	0.98699	-0.20502
1.00	-0.66929	-0.76096	-0.72590	-0.76897	-0.74373	-0.77164	-0.74373	-0.77164
1.50	-0.94689	-0.60061	-0.96035	-0.59339	-0.96288	-0.59118	-0.96288	-0.59116

x/A	$\eta = 0.50$		$\theta = 90.00$				EXACTA	
	M= 10		15		20			
-1.50	-1.00549	2.57714	-1.02199	2.58653	-1.02516	2.58821	-1.02516	2.58821
-1.00	-0.69753	3.53787	-0.76532	3.52327	-0.78662	3.51835	-0.78662	3.51835
-0.50	1.79185	2.51528	1.80165	2.51953	1.80362	2.52052	1.80365	2.52050
0.00	2.69832	0.36766	2.71540	0.36239	2.71774	0.36184	2.71774	0.36184
0.50	1.31194	-1.14324	1.32482	-1.14875	1.32782	-1.14953	1.32785	-1.14954
1.00	-1.50072	-0.25680	-1.56074	-0.21942	-1.57964	-0.20761	-1.57965	-0.20761
1.50	-1.62852	0.25712	-1.63677	0.27342	-1.63765	0.27722	-1.63765	0.27722

Tabla 2. Comparación de resultados con la solución exacta, cañón semicircular,  $\eta = 1.0$

x/A	$\eta = 1.00$		$\theta = 30.00$				EXACTA	
	M= 10		15		20			
-1.50	-0.63367	1.93452	-0.57891	1.99894	-0.56649	2.00745	-0.56649	2.00745
-1.00	-0.27270	2.90126	-0.42421	3.17473	-0.47423	3.25607	-0.47425	3.75604
-0.50	-2.17119	-1.509776	-2.18913	-1.07495	-2.19088	-1.07481	-2.19089	-1.07480
0.00	-2.12876	0.57789	-2.19232	0.65055	-2.20223	0.66019	-2.20222	0.66020
0.50	0.27455	1.93222	0.27639	1.95458	0.27938	1.95399	0.27932	1.95397
1.00	-0.20900	-1.91136	-0.44837	-1.75527	-0.59183	-1.71278	-0.59190	-1.71278
1.50	-1.51268	-1.51789	-1.48657	-1.44253	-1.47878	-1.42857	-1.47877	-1.42856

x/A	$\eta = 1.00$		$\theta = 60.00$				EXACTA	
	M= 10		15		20			
-1.50	-1.14891	-0.38026	-1.11820	-0.33940	-1.11216	-0.33234	-1.11216	-0.33234
-1.00	-3.42344	0.88232	-3.55026	0.99850	-3.59159	1.03019	-3.59159	1.03019
-0.50	-0.45780	0.64924	-0.45267	0.67753	-0.45104	0.67898	-0.45104	0.67898
0.00	-0.47612	0.69691	-0.52651	0.76313	-0.53307	0.77163	-0.53307	0.77163
0.50	0.94607	0.30089	0.93891	0.31092	0.93835	0.30893	0.93833	0.30895
1.00	-0.56992	-0.07240	-0.75248	0.20648	-0.81286	0.29022	-0.81285	0.29021
1.50	-0.63866	0.75647	-0.58768	0.81934	-0.57536	0.82815	-0.57536	0.82815

x/A	$\eta = 1.00$		$\theta = 90.00$				EXACTA	
	M= 10		15		20			
-1.50	-0.30442	-0.66994	-0.27899	-0.65685	-0.27456	-0.65505	-0.27456	-0.65505
-1.00	-3.75639	-0.54895	-3.78081	-0.46217	-3.78995	-0.43683	-3.78994	-0.43682
-0.50	-0.47112	3.23936	-0.47485	3.25487	-0.47436	3.25603	-0.47430	3.25604
0.00	2.64676	0.28322	2.69189	0.32237	2.68953	0.32773	2.68952	0.32773
0.50	-0.58142	-1.72149	-0.59171	-1.71117	-0.59201	-1.71276	-0.59197	-1.71278
1.00	1.12440	0.44336	1.05657	0.60338	1.03279	0.65191	1.03282	0.65190
1.50	1.24966	-0.11729	1.33270	-0.11793	1.33499	-0.10467	1.33499	-0.10467

Tabla 3. Comparación de resultados con la solución exacta, cañón semicircular,  $\eta = 2.0$

x/A	$\eta = 2.00$		$\theta = 30.00$				EXACTA	
	M= 10		15		20			
-1.50	0.74091	-1.015704	0.70448	-1.013299	0.70317	-1.012942	0.70319	-1.012941
-1.00	-3.40383	-0.18822	-3.46605	-0.37223	-3.47828	-0.42692	-3.47834	-0.42714
-0.50	1.28720	0.48138	1.25202	0.49594	1.25098	0.49759	1.25097	0.49748
0.00	1.62731	-1.78459	1.59742	-1.76556	1.59831	-1.76382	1.59843	-1.76378
0.50	-1.79672	0.20781	-1.76972	0.20801	-1.76331	0.20677	-1.76347	0.20669
1.00	1.43898	0.38959	-1.42650	0.63539	-1.42391	0.72468	-1.42407	0.72470
1.50	-0.12401	2.04079	-0.05495	2.06556	-0.05054	2.06386	-0.05053	2.06384

x/A	$\eta = 2.00$		$\theta = 60.00$				EXACTA	
	M= 10		15		20			
-1.50	-1.83283	2.46628	-1.76901	2.55157	-1.76450	2.55561	-1.76450	2.55559
-1.00	2.92025	-3.02770	2.85687	-2.74221	2.80912	-2.63566	2.80893	-2.63559
-0.50	2.64131	-1.831221	2.72037	-1.24558	2.73097	-1.24294	2.73078	-1.24296
0.00	-2.40835	0.07178	-2.44644	0.14278	-2.45132	0.14889	-2.45120	0.14878
0.50	1.51314	-0.37793	1.51624	-0.37835	1.52035	-0.37156	1.52027	-0.37135
1.00	0.70125	-0.67166	0.47134	-0.86228	0.38808	-0.89220	0.38792	-0.89198
1.50	-0.94335	-0.85681	-0.99280	-0.74464	-0.99267	-0.73442	-0.99266	-0.73446

x/A	$\eta = 2.00$		$\theta = 90.00$				EXACTA	
	M= 10		15		20			
-1.50	-3.41897	-0.42424	-3.40347	-0.18771	-3.39576	-0.17178	-3.39574	-0.17174
-1.00	4.70441	0.08372	4.13223	0.19777	3.92585	0.27071	3.92598	0.27041
-0.50	-3.53559	-0.48741	-3.48763	-0.44017	-3.47836	-0.42708	-3.47834	-0.42725
0.00	2.60129	0.04269	2.66496	0.13720	2.65254	1.49088	2.65257	0.14950
0.50	-1.53581	0.61482	-1.43244	0.71927	-1.42397	0.72545	-1.42407	0.72489
1.00	-0.06127	0.69389	-0.01917	0.76622	-0.04852	0.84105	-0.04860	0.84038
1.50	0.95417	0.13408	0.99010	0.23138	0.99196	0.24013	0.99201	0.24020

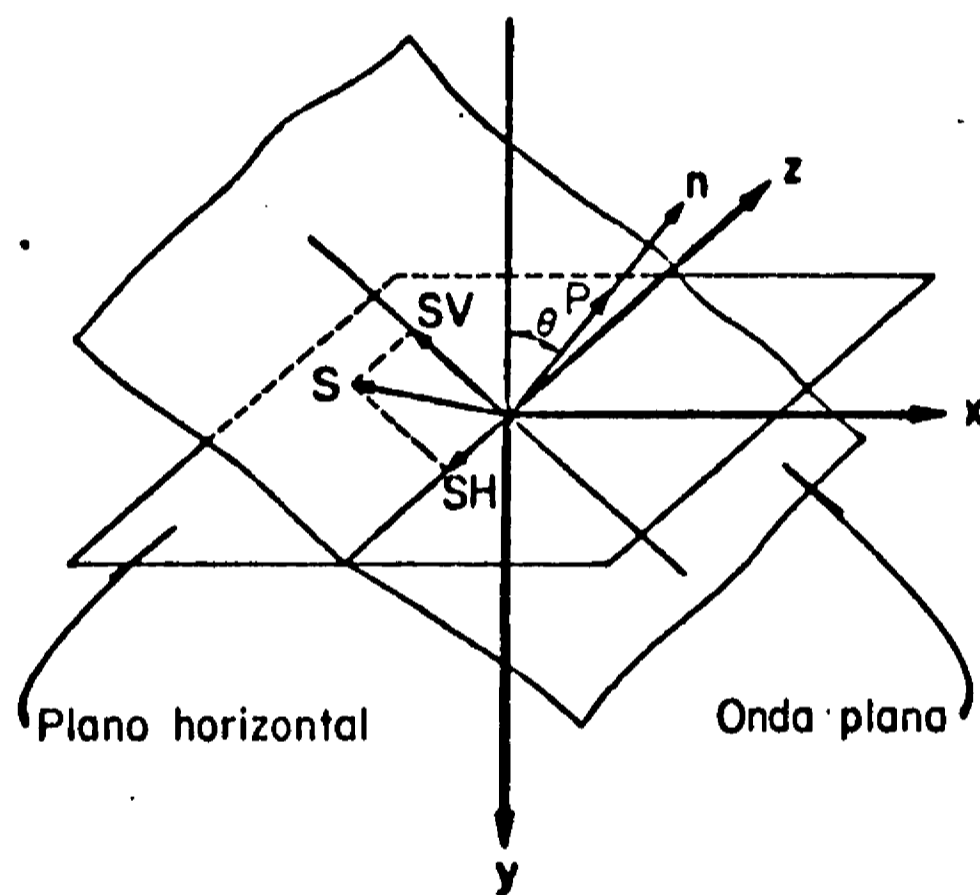


Fig 1. Tipos de ondas planas y ejes de referencia



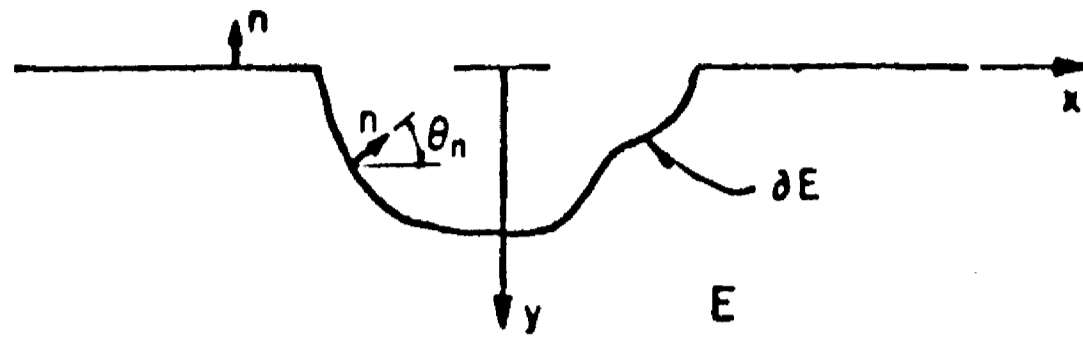


Fig 2. Geometría del problema

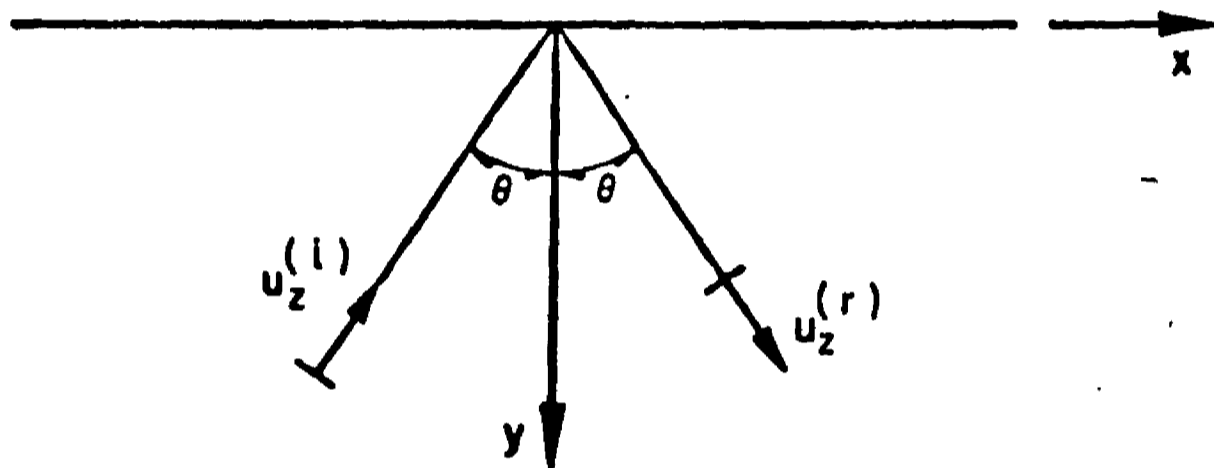
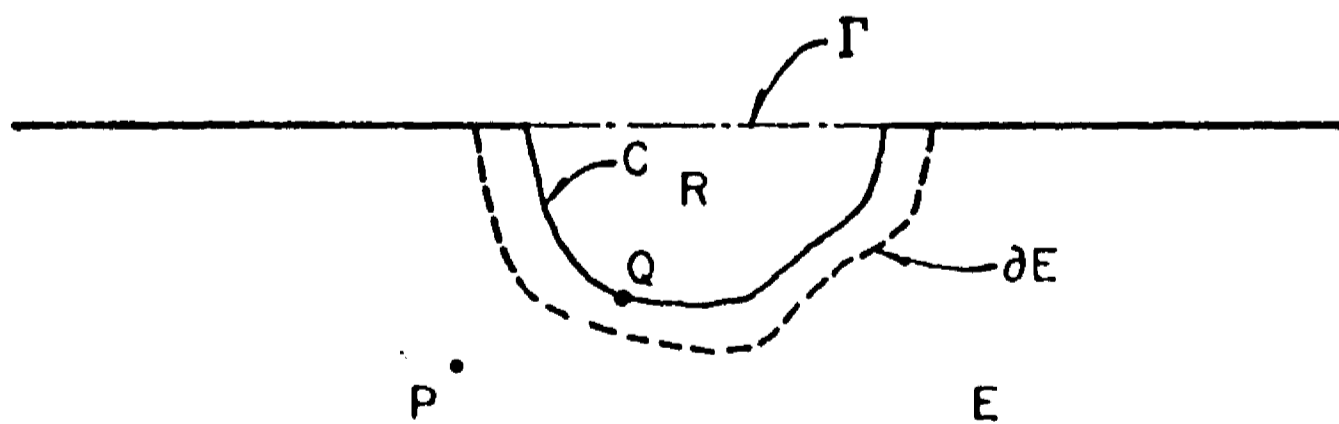


Fig 3. Ondas SH incidente y reflejada, solución de campo libre

Fig 4. Definición de las regiones R y E y las curvas C,  $\Gamma$  y  $\partial E$

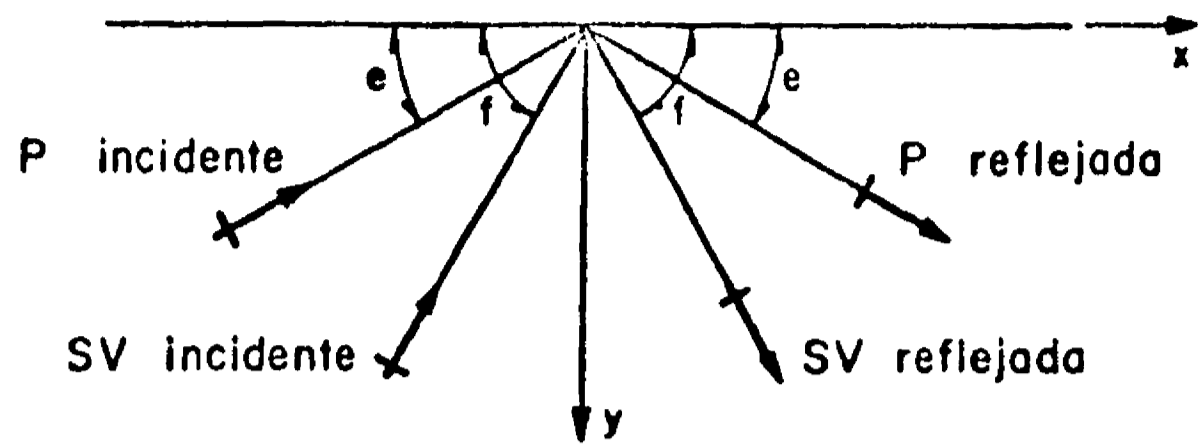


Fig 5. Ondas P y SV incidentes y reflejadas, solución de campo libre

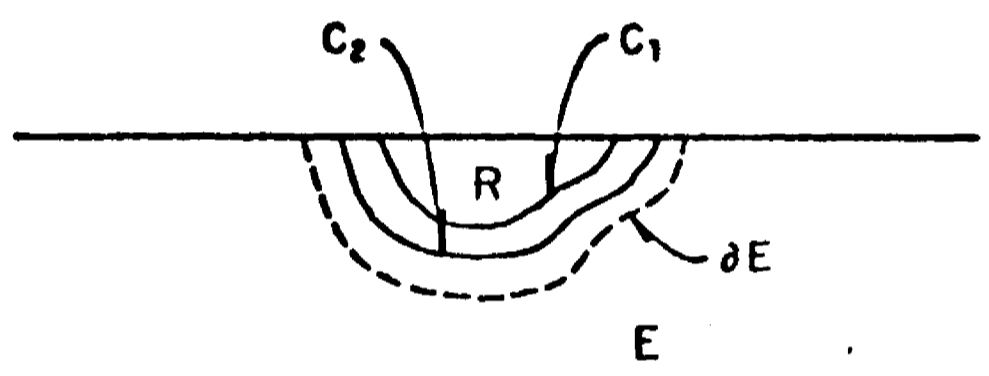


Fig 6. Definición de la región E y las curvas  $C_1$ ,  $C_2$  y  $\partial E$

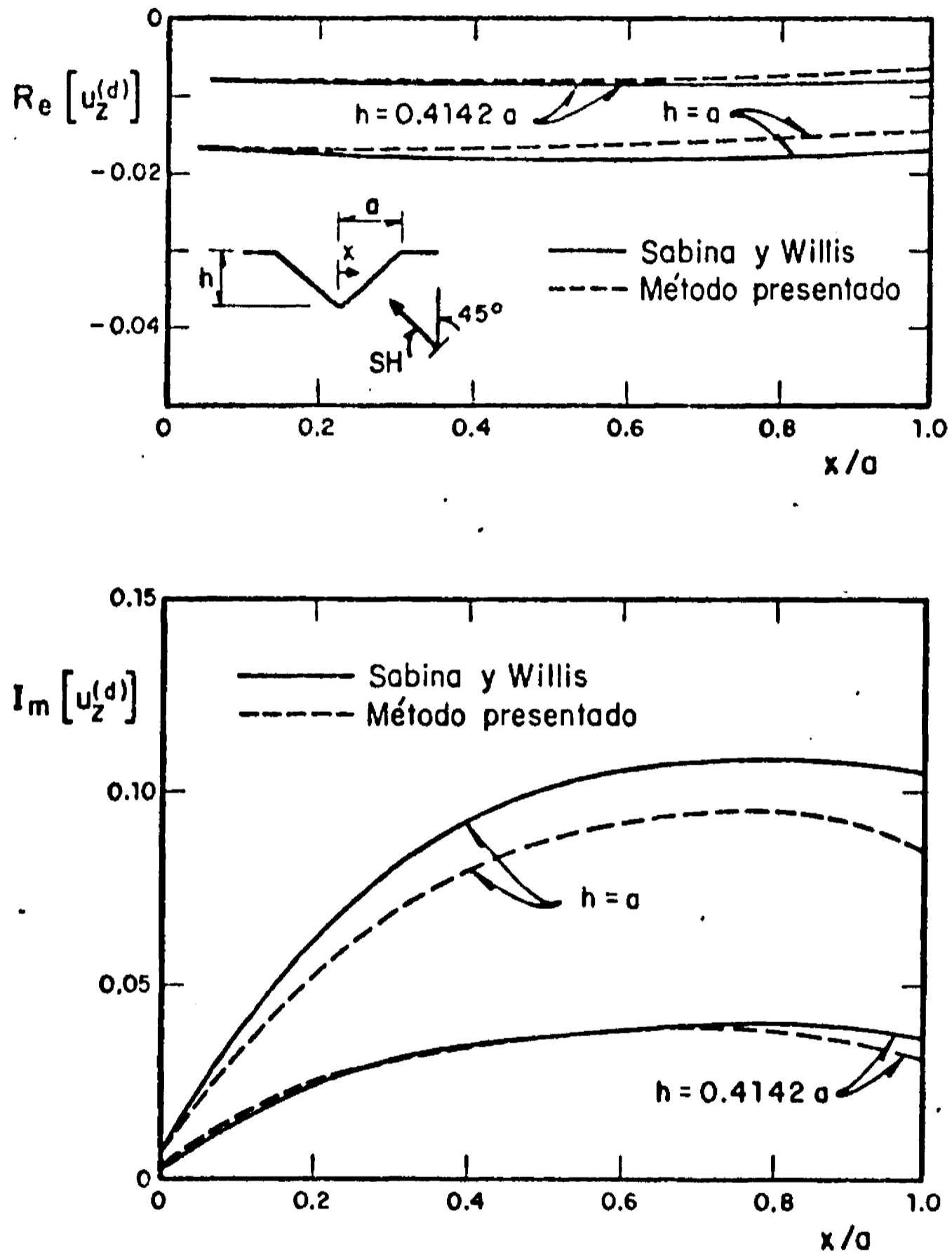


Fig 7. Comparación para las partes real e imaginaria de  $u_z^{(d)}$  entre la solución numérica presentada y la obtenida con desarrollos asintóticos ajustados (32). Frecuencia normalizada  $\eta = 0.1/\pi$ . Incidencia de ondas SH

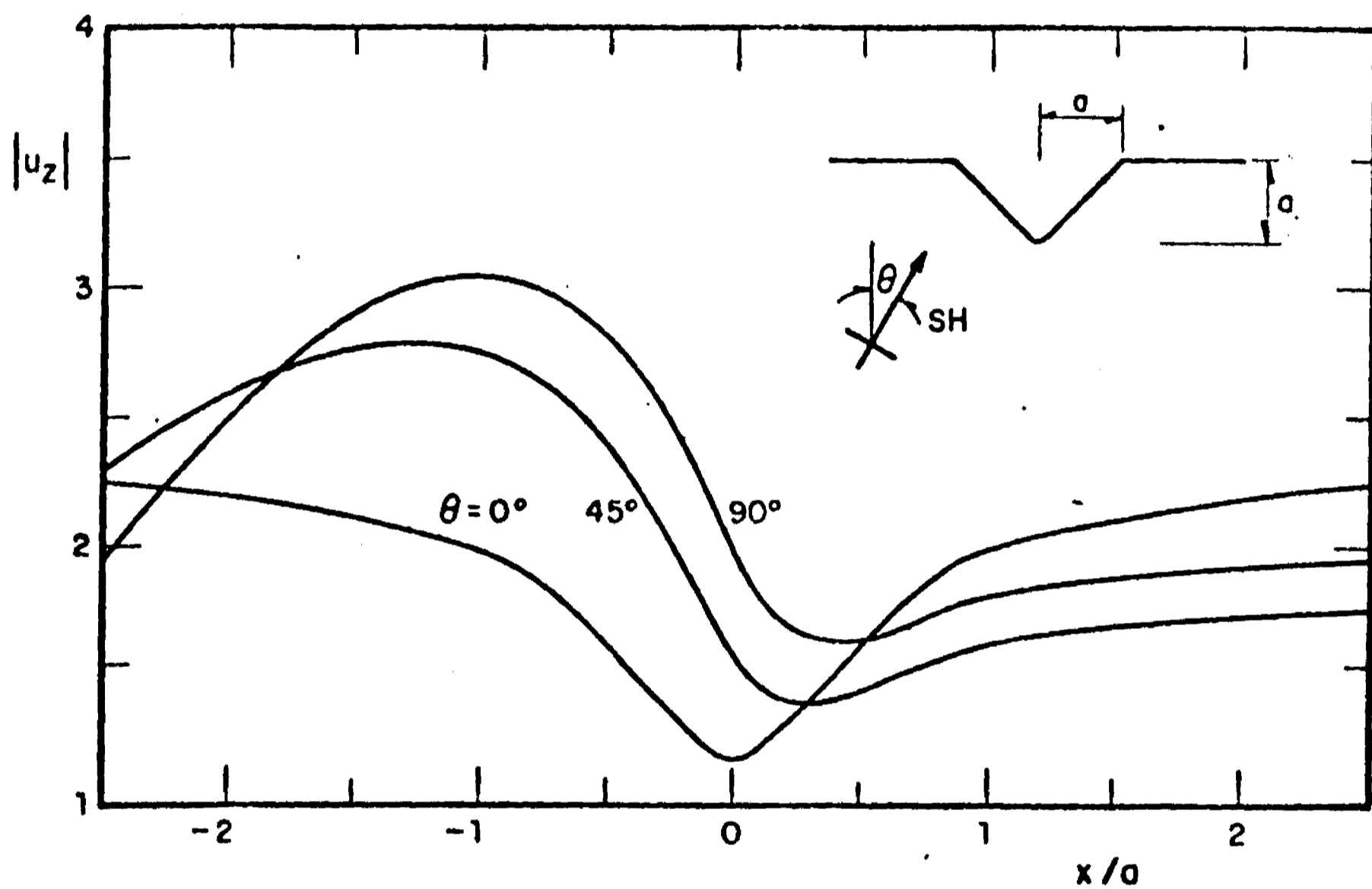


Fig 8. Amplitudes del desplazamiento  $u_z$  en la superficie de un cañón triangular con taludes de  $45^\circ$  para diferentes ángulos de incidencia  $\theta$ . Frecuencia normalizada  $\eta = 0.25$ . Incidencia de ondas SH

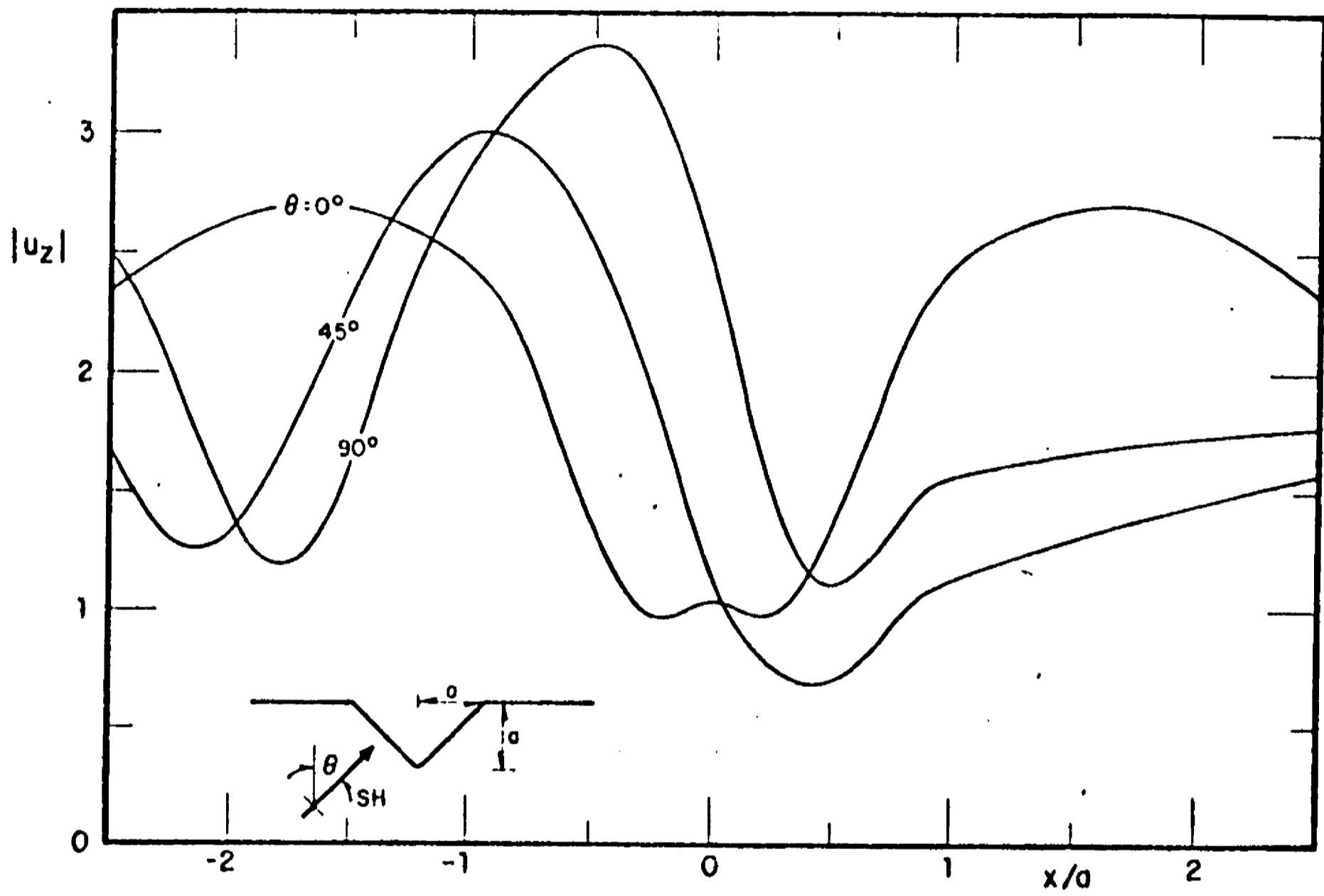


Fig 9. Amplitudes del desplazamiento  $u_z$  en la superficie de un cañón triangular con taludes a  $45^\circ$  para diferentes ángulos de incidencia  $\theta$ . Frecuencia normalizada  $\eta = 0.5$ . Incidencia de ondas SH

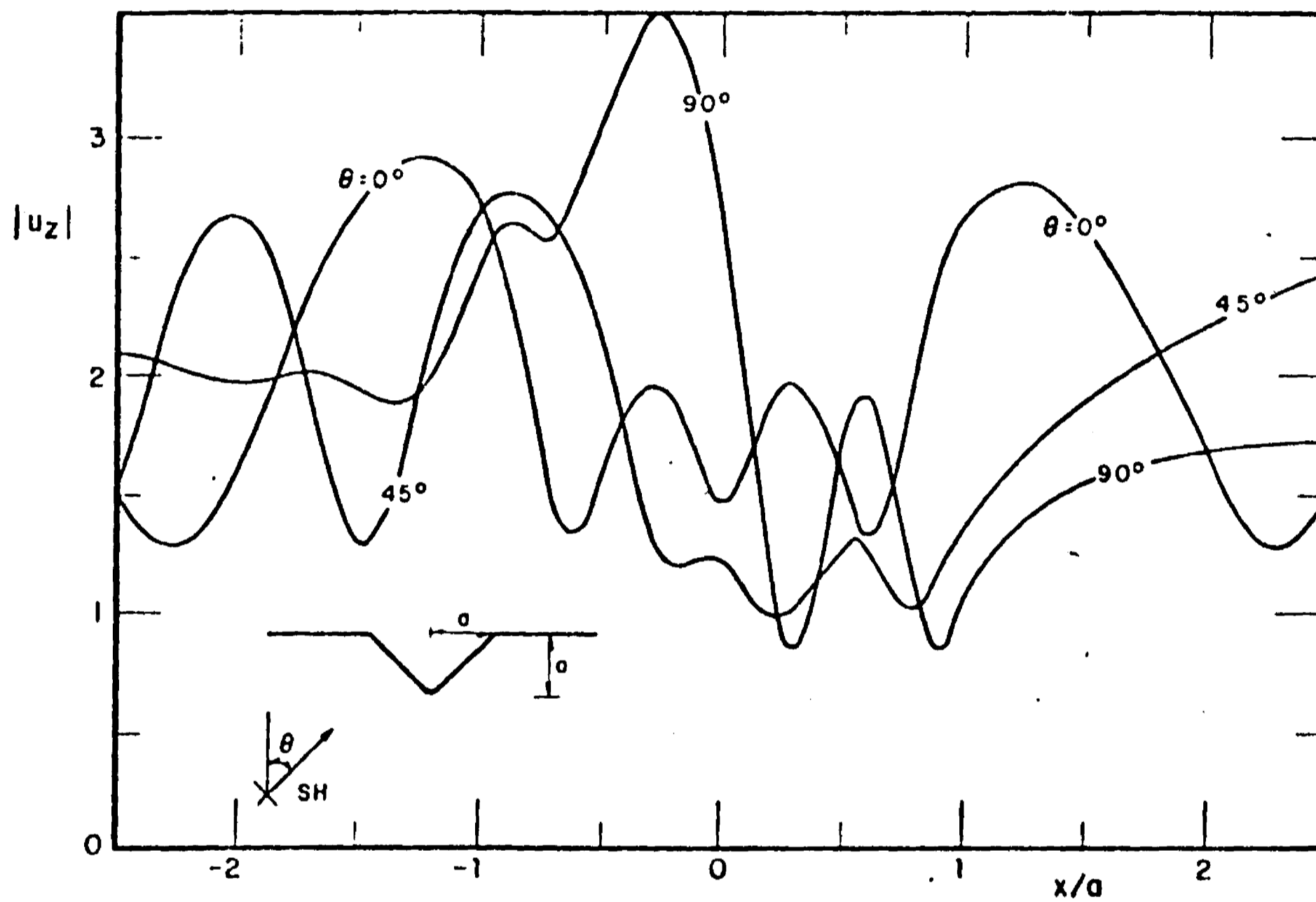


Fig 10. Amplitudes del desplazamiento  $u_z$  en la superficie de un cañón triangular con taludes a  $45^\circ$  para diferentes ángulos de incidencia  $\theta$ . Frecuencia normalizada  $\eta = 1.0$ . Incidencia de ondas SH

ANÁLISIS DE LAS ONDAS DE VIBRACIÓN  
 EN UN MEDIO ELÁSTICO Y SU INTERACCIÓN  
 CON UN OBJETO ELÁSTICO

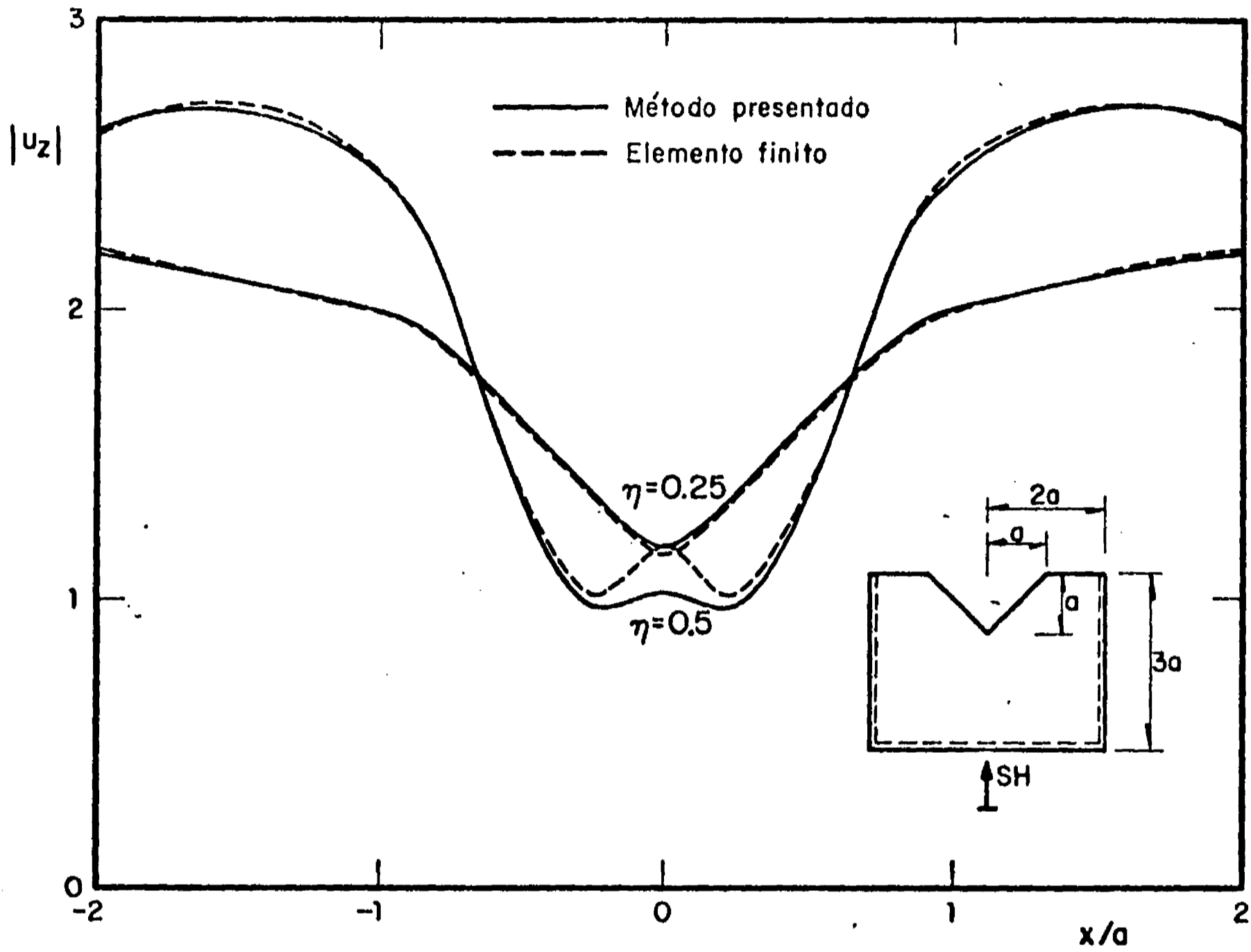


Fig 11. Comparación de las amplitudes de los desplazamientos obtenidos con el método presentado y con el de elementos finitos con fronteras activas eficientes (3). Incidencia vertical.  $\eta = 0.25, 0.5$

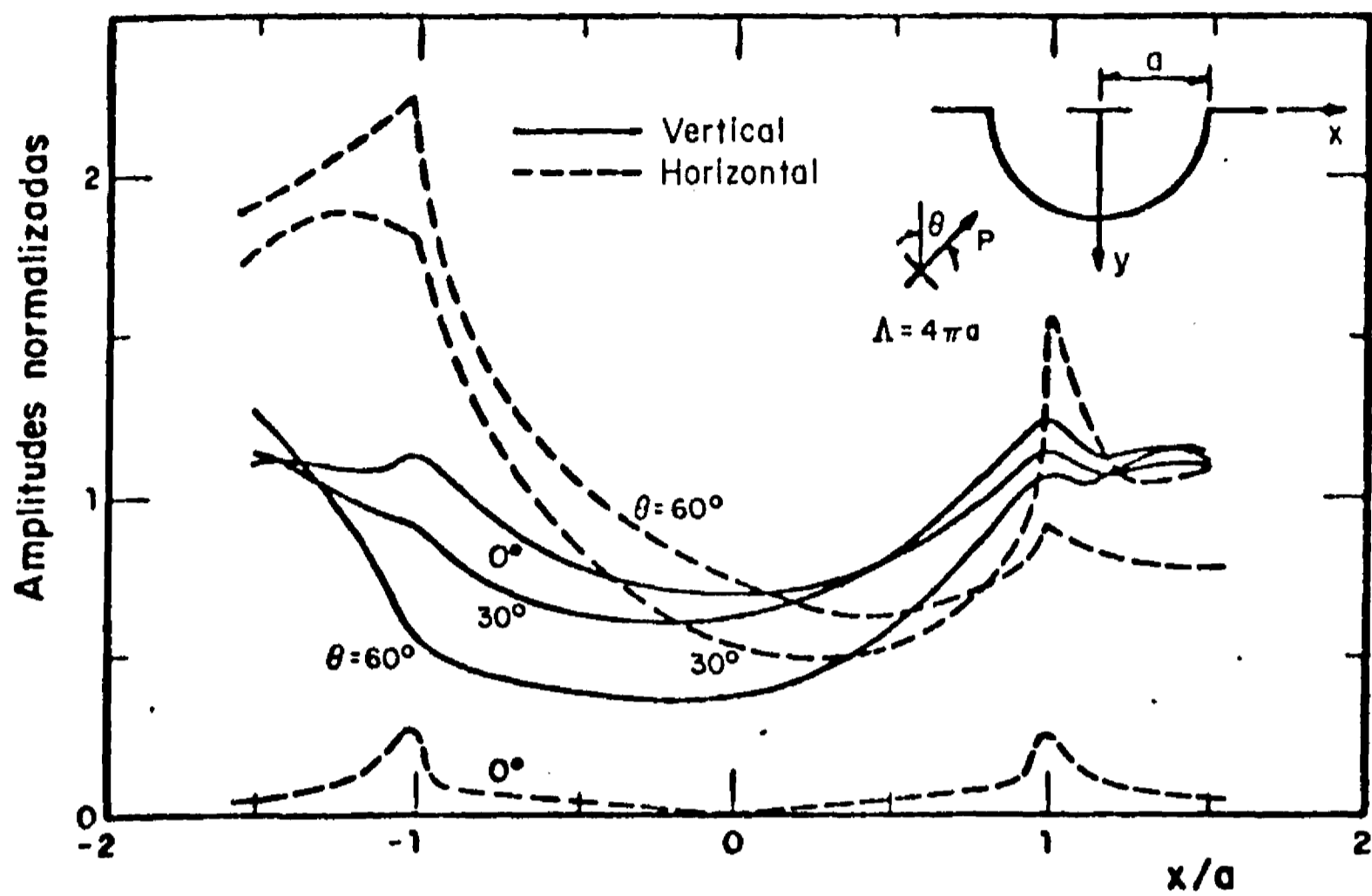


Fig 12. Amplitudes normalizadas de desplazamientos vertical y horizontal en un cañón semicircular. Incidencia de ondas P, longitud de onda  $\Lambda = 4\pi a$

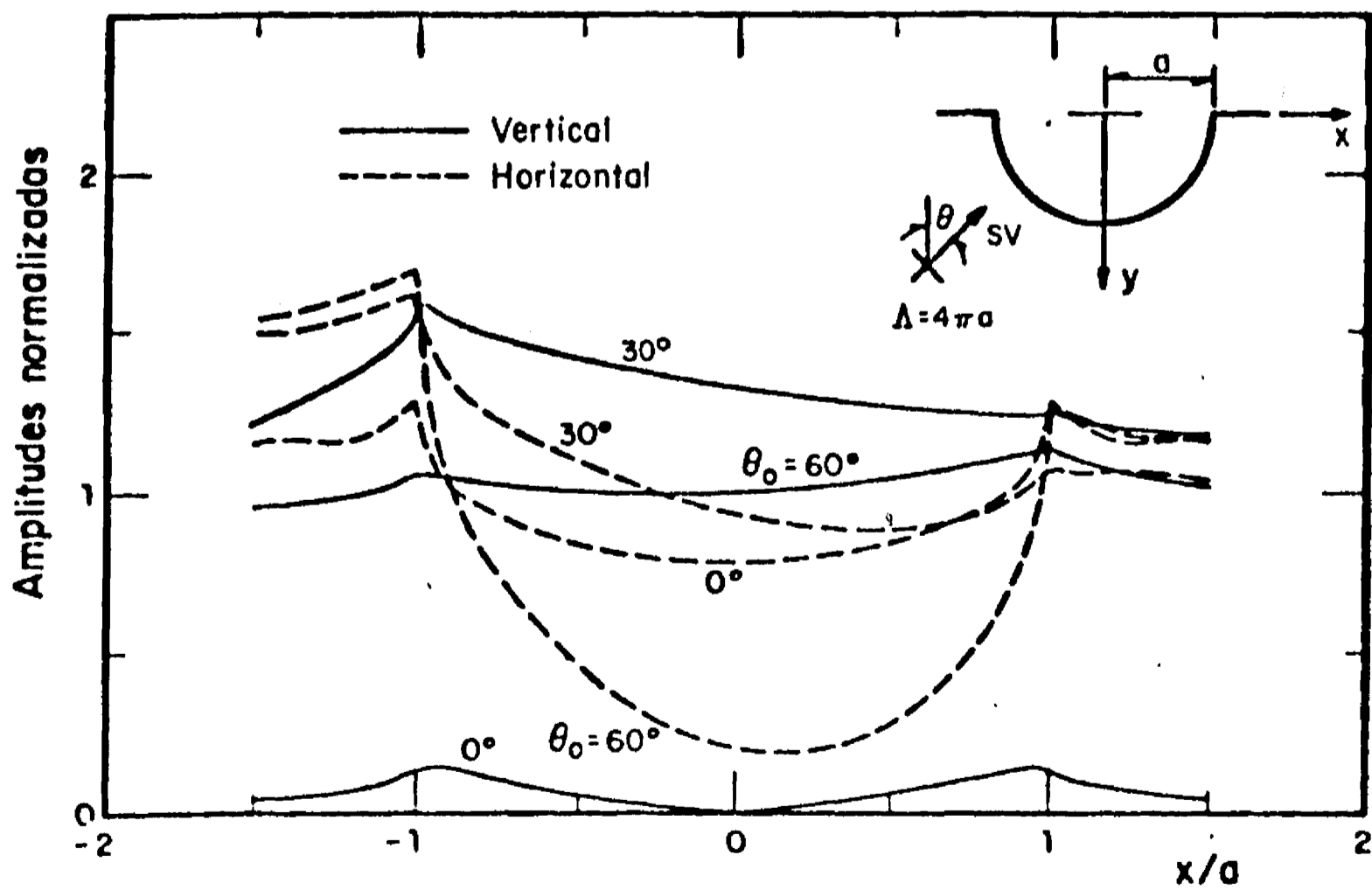


Fig 13. Amplitudes normalizadas de desplazamientos vertical y horizontal en un cañón semicircular. Incidencia de ondas SV, longitud de onda  $\Lambda = 4\pi a$



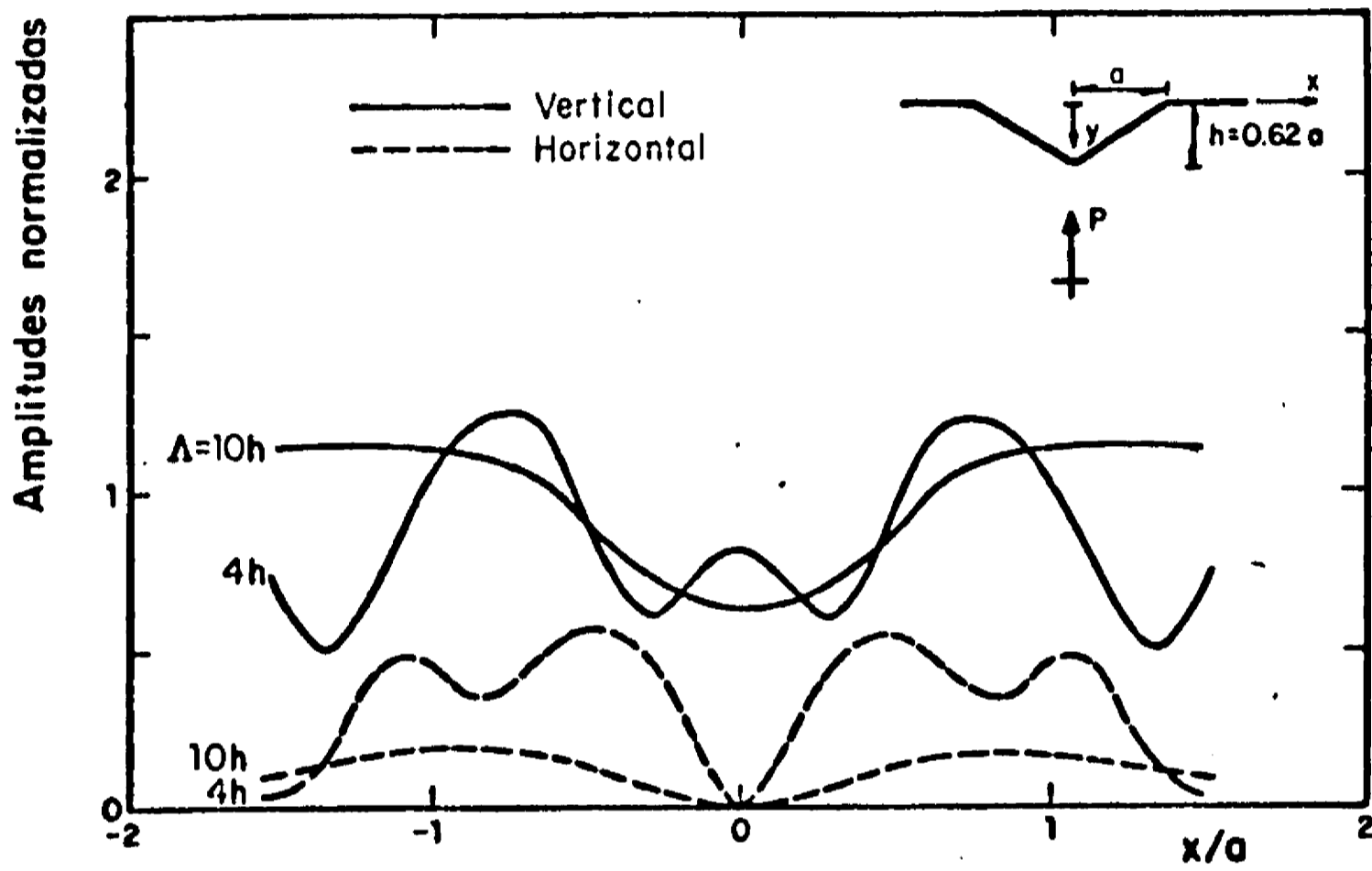


Fig 14. Amplitudes normalizadas de desplazamiento vertical y horizontal en un cañón triangular ante incidencia vertical de ondas P

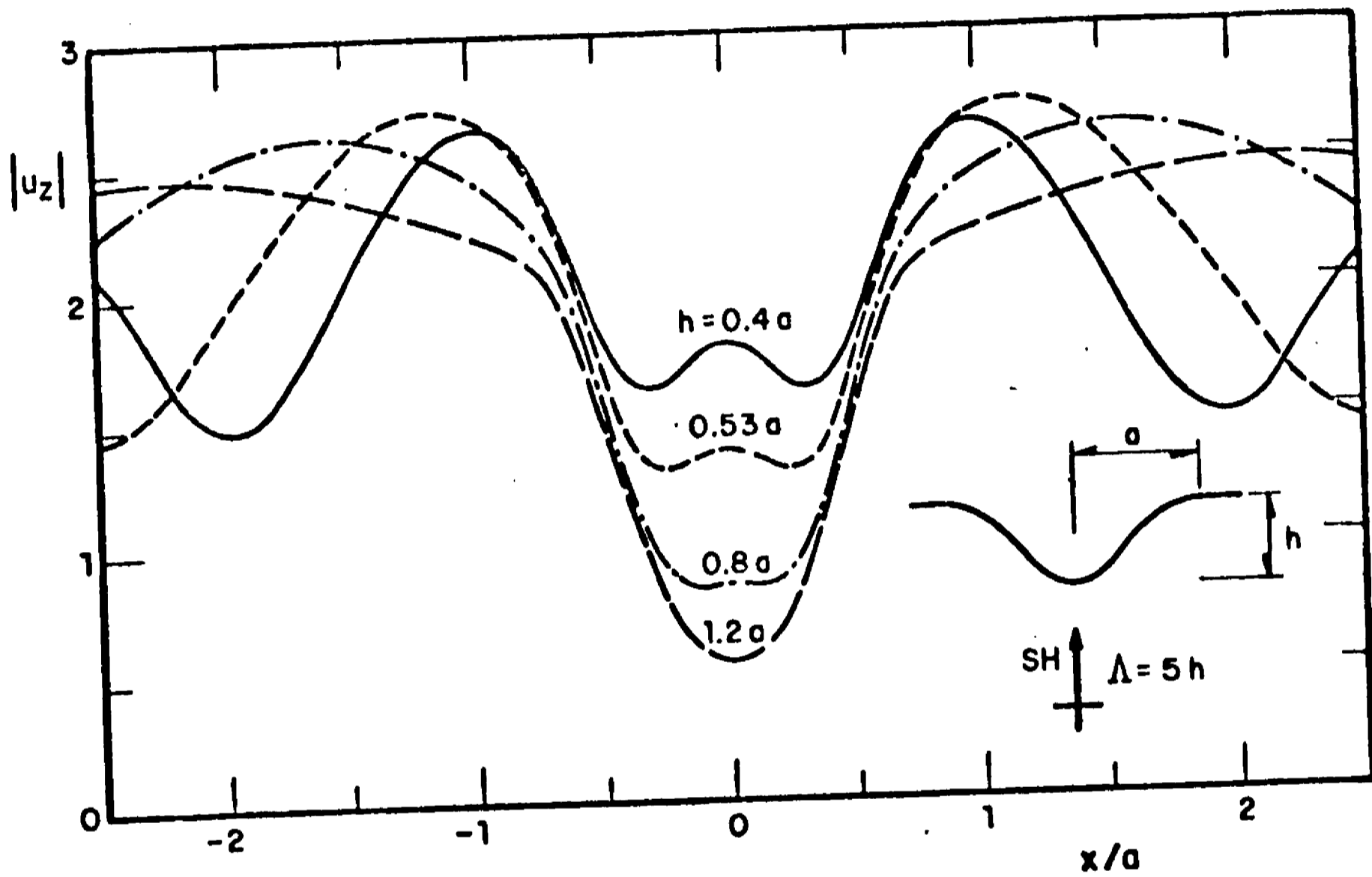


Fig 15. Amplitudes del desplazamiento  $u_z$  en la superficie de cañones senoidales con diferentes profundidades. Incidencia vertical de ondas SH

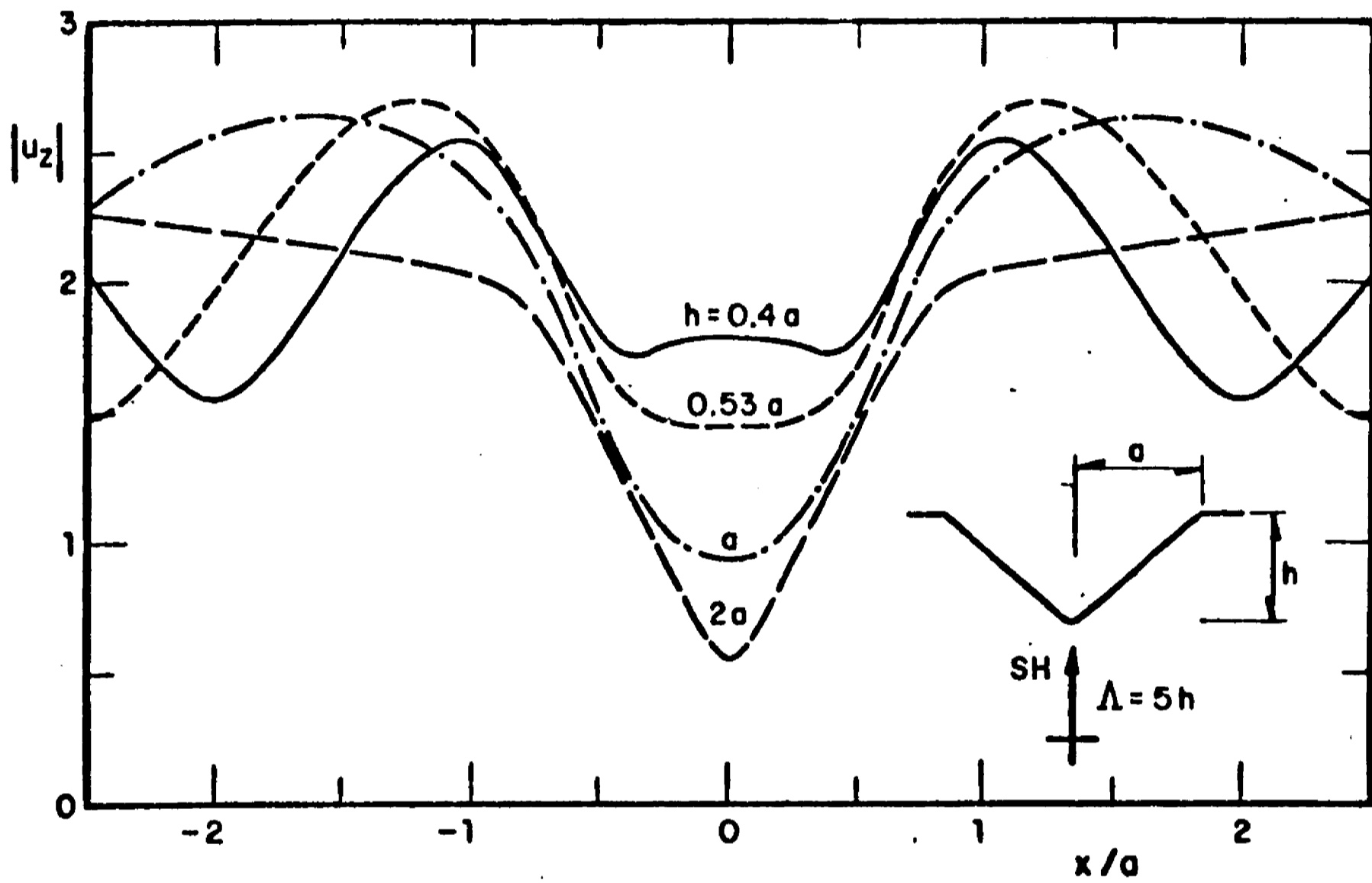


Fig 16. Amplitudes del desplazamiento  $u_z$  en la superficie de cañones triangulares con diferentes profundidades. Incidencia vertical de ondas SH

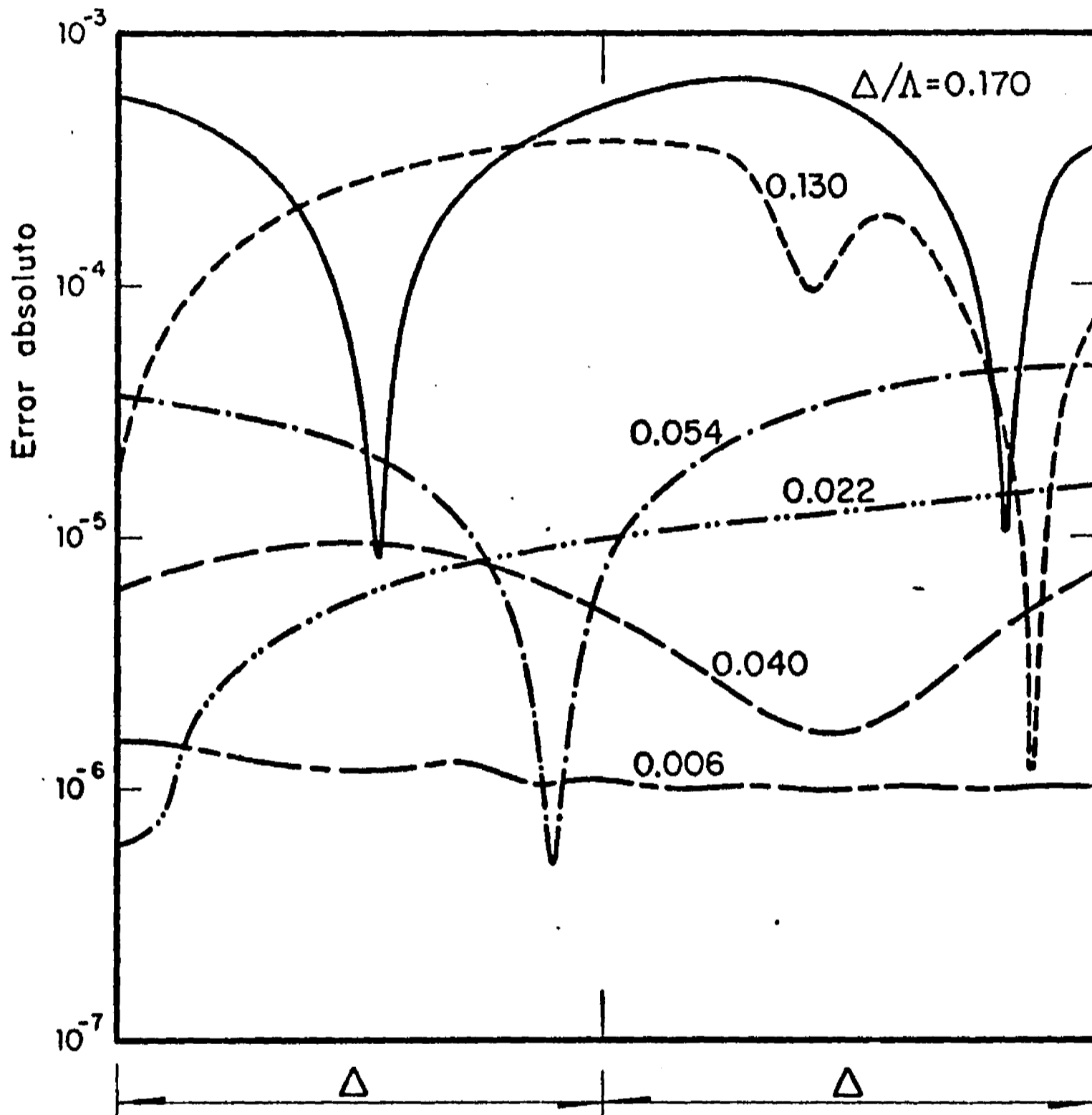


Fig 17. Variación típica del error absoluto, calculado como la diferencia entre la solución numérica y la exacta en valor absoluto, entre puntos de colocación para distintos valores de  $\Delta/\Lambda$

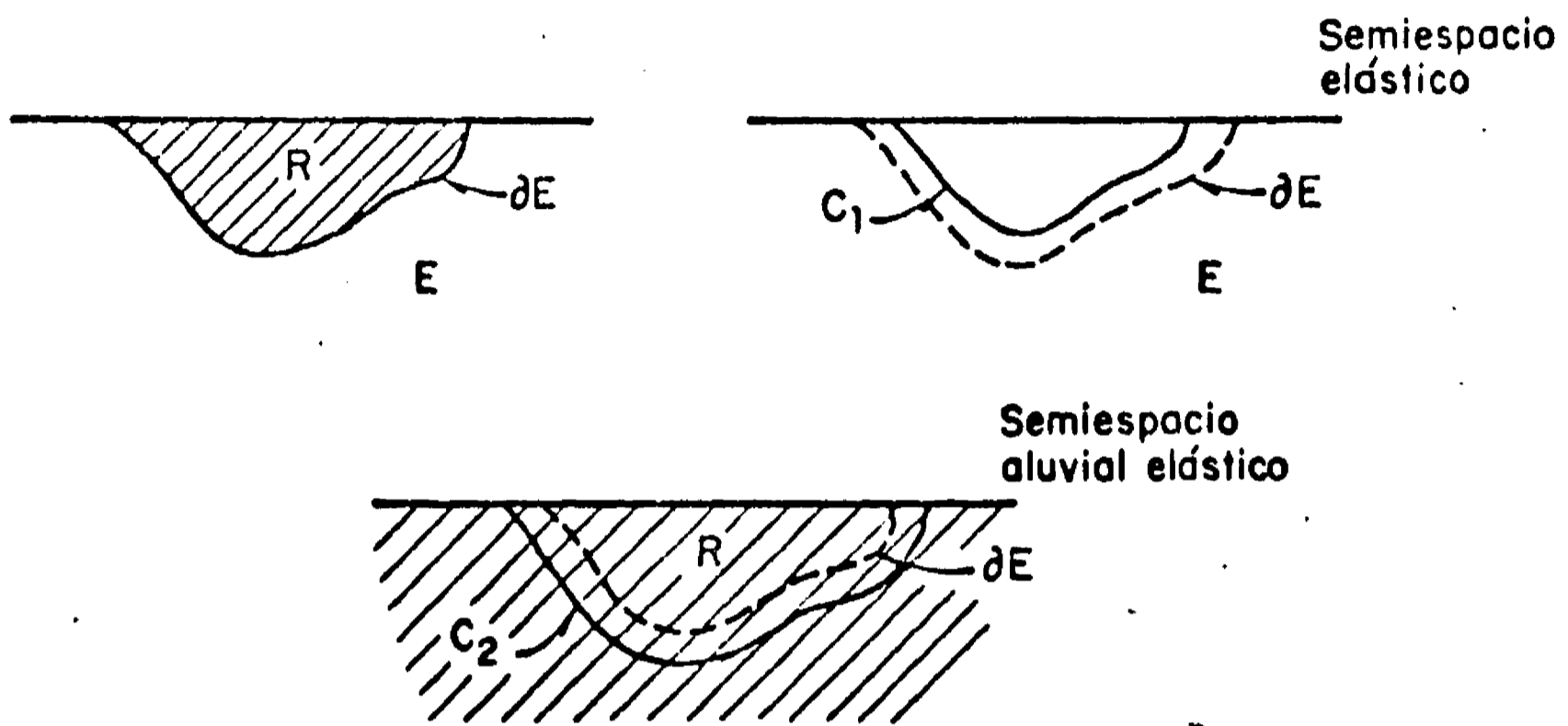


Fig 18. Regiones  $R$  y  $E$  y curvas  $\partial E$ ,  $C_1$  y  $C_2$ .  $C_1$  y  $C_2$  se usan para la representación en el exterior y en el interior, respectivamente

APENDICE A. NOTACION

En este escrito se emplean los siguientes símbolos:

$[A]$	=	matriz de coeficientes complejos
$A_1, A_2$	=	amplitudes de onda P incidente y reflejada, respectivamente
$a$	=	mitad de ancho del cañón, radio del cañón semicircular
$B_1, B_2$	=	amplitudes de onda SV incidente y reflejada, respectivamente
$\{b\}$	=	vector de términos independientes
$C_1, C_2$	=	curvas interiores
$C$	=	curva interior
$c_x = \beta / \sin \theta$	=	velocidad aparente en x
$c_y = \beta / \cos \theta$	=	velocidad aparente en u
$E$	=	semiespacio con irregularidad
$e, f$	=	ángulos de incidencia o reflexión, ondas P o SV
$f(\cdot)$	=	densidad de capa simple
$f_m$	=	coeficiente
$G$	=	función de Green
$g(\cdot)$	=	densidad de capa simple
$g_m$	=	coeficiente
$H_0^{(2)}(\cdot)$	=	función de Hankel de segunda especie y orden cero
$h(\cdot)$	=	densidad de capa simple
$h_n$	=	coeficiente
$h$	=	profundidad del cañón
$i = \sqrt{-1}$	=	unidad imaginaria
$k$	=	número de onda
$k_s = \omega / \beta$	=	número de onda S
$k_p = \omega / \alpha$	=	número de onda P
$L$	=	número de puntos de colocación
$l, m, n$	=	subíndices
$M, N$	=	números de fuentes
$n$	=	normal a la frontera o a la superficie del semiespacio
$P$	=	punto en E o en la curva $\partial E$
$P_l$	=	punto de colocación en la curva $\partial E$
$Q$	=	punto en la curva C

$Q'$	=	imagen de $Q$
$Q_m, Q_n$	=	puntos que definen la posición de fuentes
$r_1$	=	distancia de $P$ a $Q$
$r_2$	=	distancia de $P$ a $Q'$
$\vec{r}$	=	vector de posición del punto $P$
$\vec{r}_0$	=	vector de posición del punto $Q$
$t$	=	tiempo
$t_x, t_y, t_z$	=	componentes del vector esfuerzo
$\vec{t} = [t_x, t_y]^T$	=	vector esfuerzo plano (vep)
$\vec{t}^{(1)}$	=	vep debido a una fuente de ondas $P$
$\vec{t}^{(2)}$	=	vep debido a una fuente de ondas $SV$
$\vec{t}^{(0)}$	=	vep de campo libre
$\vec{t}^{(d)}$	=	vep difractado
$u_x, u_y, u_z$	=	componentes del vector desplazamiento
$\vec{u} = [u_x, u_y]^T$	=	vector desplazamiento plano (vdp), caso $P$ o $SV$
$\vec{u}^{(0)}$	=	solución de campo libre, caso $SH$
$\vec{u}^{(d)}$	=	solución difractada, caso $SH$
$\vec{u}^{(0)}$	=	vdp de campo libre
$\vec{u}^{(d)}$	=	vdp difractado
$[W]$	=	matriz diagonal de pesos
$x, y, z$	=	coordenadas cartesianas
$\alpha$	=	velocidad de ondas $P$
$\beta$	=	velocidad de ondas $S$
$\Delta$	=	distancia entre puntos de colocación, medida sobre $\partial E$
$\delta(\cdot)$	=	delta de Dirac
$\epsilon$	=	pertenece a, está en
$\eta$	=	frecuencia normalizada
$\theta$	=	ángulo de incidencia
$\theta_n$	=	ángulo medido de la dirección positiva de $x$ al vector $n$ en sentido antihorario
$\Lambda$	=	longitud de onda incidente
$\lambda$	=	constante de Lamé
$\mu$	=	constante de Lamé
$\rho$	=	densidad del medio
$\sigma_x, \sigma_y, \tau_{xy}$	=	componentes del tensor esfuerzo

- $\phi, \psi$  = potenciales de ondas P y SV respectivamente  
 $\phi^{(0)}, \psi^{(0)}$  = potenciales de campo libre  
 $\phi_1, \psi_1$  = potenciales de una fuente de ondas P  
 $\phi_2, \psi_2$  = potenciales de una fuente de ondas SV  
 $\phi^{(d)}, \psi^{(d)}$  = potenciales difractados  
 $\omega$  = frecuencia circular  
 $\partial E$  = frontera del cañón



APENDICE B. PROBLEMA INTERIOR EN EL CASO SH

Para investigar las condiciones para las cuales la solución de la ec 11 no es única, se buscarán las soluciones no triviales del problema homogéneo

$$\int_C f(Q) \frac{\partial G(P,Q)}{\partial n_P} dS_Q = 0, \quad P \in \partial E \quad (B1)$$

Sea  $\phi$  la solución de la expresión

$$\frac{\partial^2 \phi}{\partial x^2} + \frac{\partial^2 \phi}{\partial y^2} + k^2 \phi = 0 \quad (B2)$$

en la región R, limitada por C y  $\Gamma$  (fig 4). Aplicando el teorema de Green (43), para un punto P fuera de esta región, se obtiene

$$\int_{C \cup \Gamma} \left\{ \frac{\partial \phi(Q)}{\partial n_Q} G(P,Q) - \phi(Q) \frac{\partial G(P,Q)}{\partial n_Q} \right\} dS_Q = 0 \quad (B3)$$

Sea  $\phi = 0$  en C y  $\partial \phi / \partial n = 0$  en  $\Gamma$ ; esto es,  $\phi$  es una eigenfunción del problema

$$\left. \begin{aligned} \frac{\partial^2 \phi}{\partial x^2} + \frac{\partial^2 \phi}{\partial y^2} + k^2 \phi &= 0 && \text{en R} \\ \phi &= 0 && \text{en C} \\ \frac{\partial \phi}{\partial n} &= 0 && \text{en } \Gamma \end{aligned} \right\} \quad (B4)$$

Además, por construcción

$$\frac{\partial G(P,Q)}{\partial n_Q} = 0 \quad \text{en } \Gamma \quad (B5)$$

Entonces, de la ec B3, para P fuera de R se obtiene

$$\int_C \frac{\partial \phi(Q)}{\partial n_Q} G(P,Q) dS_Q = 0 \quad (B6)$$

Para  $P \in \partial E$ , de la ec B6 puede escribirse

$$\int_C \frac{\partial \phi(Q)}{\partial n_Q} \frac{\partial G(P, Q)}{\partial n_P} dS_Q = 0 \quad (B7)$$

Esto es, hay soluciones no triviales  $f(Q) = \partial \phi(Q) / \partial n_Q$  cuando  $k_S$  coincide con los eigenvalores  $k$  del problema definido por las ecs B4.

En particular, cuando  $R$  es un semicírculo con radio  $\alpha_0$  los eigenvalores están dados por

$$k_{m,n} = \frac{J_{m,n}}{\alpha_0} \quad (B8)$$

donde  $J_{m,n}$  = n-ésima raíz de la ecuación  $J_m(j) = 0$ ,  $J_m(\cdot)$  = función de Bessel de primera especie y orden  $m$ ,  $m = 1, 2, \dots$ , y  $n = 1, 2, \dots$

Dada una región arbitraria, existe una secuencia infinita de eigenvalores  $k$  para los cuales el problema de las ecs B4 tiene una solución continua (43).

Cuando  $k_S$  coincide con, o está cercano a los eigenvalores del problema interior definido en las ecs B4, surgen dificultades numéricas debidas al mal condicionamiento de la matriz de coeficientes. Esto puede evitarse modificando la selección de la curva  $C$ ; el problema interior cambia y también los eigenvalores, removiendo la singularidad del operador en la ec 11. Para evitar este cambio pueden usarse dos curvas, dígame  $C$  y  $C'$ , y obtener la solución en el sentido de mínimos cuadrados.

## APENDICE C. EXPRESIONES PARA FUENTES DE ONDAS P o SV

En este apéndice se presentan las expresiones de los potenciales para fuentes lineales de ondas P y SV respectivamente y se aplica el método de Aki y Larner (2) para la discretización de las integrales. Pueden encontrarse detalles adicionales en el trabajo de Bouchon y Aki (6).

Los potenciales  $\phi_1$  y  $\psi_1$  para una fuente lineal de ondas P puede escribirse como (19,20)

$$\phi_1 = \pi i \{ H_0^{(2)}(k_p r_1) - H_0^{(2)}(k_p r_2) \} + \int_{-\infty}^{\infty} A(k) \exp[-iyv] \exp[-i(x-x_0)k] dk \quad (C1)$$

$$\psi_1 = \int_{-\infty}^{\infty} B(k) \exp[-iy\gamma] \exp[-i(x-x_0)k] dk \quad (C2)$$

donde  $v = \sqrt{k_p^2 - k^2}$ ,  $\text{Im}(v) < 0$ ,  $\gamma = \sqrt{k_s^2 - k^2}$ ,  $\text{Im}(\gamma) \leq 0$ ,

$$r_1 = [(x-x_0)^2 + (y-y_0)^2]^{1/2},$$

$$r_2 = [(x-x_0)^2 + (y+y_0)^2]^{1/2},$$

$x, y$  = coordenadas del punto P

$x_0, y_0$  = coordenadas de la fuente en el punto Q,

$$A(k) = \frac{4ik^2\gamma}{f(k)} \exp[-iy_0 v], \quad B(k) = \frac{2ik(2k^2 - k_s^2)}{F(k)} \exp[-y_0 v]$$

donde  $F(k) = (2k^2 - k_s^2) + 4k^2 v \gamma$  = función de Rayleigh, y  $H_0^{(2)}(\cdot)$  = función de Hankel de segunda especie y orden cero.

Para una fuente lineal de ondas SV se tiene que las potenciales  $\phi_2$  y  $\psi_2$  están dados por (20)

$$\phi_2 = \int_{-\infty}^{\infty} C(k) \exp[-iyv] \exp[-i(x-x_0)k] dk \quad (C3)$$

$$\psi_2 = \pi i \{ H_0^{(2)}(k_s r_1) - H_0^{(2)}(k_s r_2) \} + \int_{-\infty}^{\infty} D(k) \exp[-iy\gamma] \exp[-i(x-x_0)k] dk \quad (C4)$$

donde

$$C(k) = - \frac{2ik(2k^2 - k_s^2)}{F(k)} \exp[-iy_0 y], \quad y$$

$$D(k) = \frac{4ik^2 v}{F(k)} \exp[-iy_0 y]$$

La radiación armónica de una fuente lineal puede representarse como una superposición continua de ondas planas, homogéneas e inhomogéneas. Así los potenciales de las ecs C1-C4, los desplazamientos o los esfuerzos pueden escribirse en la forma

$$F(x, y, \omega) = \int_{-\infty}^{\infty} f(k, y) \exp[-ikx] dk \quad (C5)$$

donde la integración es con respecto al número de onda horizontal. Para transformar la integral en una suma, considérese un número infinito de tales fuentes distribuidas uniformemente a lo largo del eje horizontal  $x$ , con igual intervalo  $L$ . La ec C5 queda

$$F(x, y, \omega) = \int_{-\infty}^{\infty} f(k, y) \exp[-ikx] \sum_{m=-\infty}^{\infty} \exp[ikmL] dk \quad (C6)$$

como (17)

$$\sum_{m=-\infty}^{\infty} \exp[ikmL] = \frac{2\pi}{L} \sum_{n=-\infty}^{\infty} \delta(k - k_n) \quad (C7)$$

donde  $k_n = \frac{2\pi}{L} n$  y  $\delta(\cdot)$  = función delta de Dirac. Entonces de las ecs C6 y C7 se obtiene

$$F(x, y, \omega) = \frac{2\pi}{L} \sum_{n=-\infty}^{\infty} f(k_n, y) \exp[-ik_n x] \quad (C8)$$

Si la serie converge, puede aproximarse mediante una suma finita

$$F(x, y, \omega) = \frac{2\pi}{L} \sum_{n=-N}^N f(k_n, y) \exp[-ik_n x] \quad (C9)$$

Para calcular la suma deben quitarse del eje  $\text{Re}(k)$  las singularidades de  $f(k, y)$ , que en este problema son los ceros de la función de Rayleigh y sus puntos de ramificación. Esto puede hacerse dando a la frecuencia una pequeña parte imaginaria, esto es

$$\omega = \omega_R + i\omega_I \quad (C10)$$

donde  $\omega_R$ ,  $\omega_I$  = partes real e imaginaria de  $\omega$ , con  $\omega_I < 0$ . Entonces las singularidades quedan en el segundo y cuarto cuadrantes del plano complejo  $k$ , en una línea recta que pasa por el origen. El uso de la frecuencia compleja tiene el efecto de suavizar el espectro y resaltar los primeros movimientos con relación a los últimos. Esta atenuación minimiza la influencia de las fuentes ficticias.

## APENDICE D. COLOCACION Y MINIMOS CUADRADOS

El método de colocación y mínimos cuadrados ha sido aplicado con éxito en la solución de problemas de valores en la frontera (25). El método consiste en usar un número de puntos de colocación, donde se imponen las condiciones de frontera, mayor que el número de parámetros libres de la solución aproximada; se obtienen así sistemas de ecuaciones sobredeterminados. La solución se obtiene al minimizar el error cuadrático. Cuando se trata con sistemas complejos se procede de la siguiente manera:

Considérese el sistema de ecuaciones sobredeterminado

$$Az = C \quad (D1)$$

donde

$A$  = matriz de coeficientes complejos =  $a + i b$

$z$  = vector de incógnitas =  $x + i y$

$C$  = vector de términos independientes =  $c + i d$

$a, b$  = partes real e imaginaria de  $A$

$x, y$  = partes real e imaginaria de  $z$

$c, d$  = partes real e imaginaria de  $C$

Las partes real e imaginaria, respectivamente del vector error asociado al sistema D1 son

$$\epsilon_1 = ax - by - c \quad (D2)$$

$$\epsilon_2 = bx - ay - d \quad (D3)$$

Sea  $E$  el error cuadrático definido por

$$E = \epsilon_1^T \epsilon_1 + \epsilon_2^T \epsilon_2 \quad (D4)$$

Las condiciones de mínimo para  $E$  son

$$\frac{\partial E}{\partial x} = 0 \quad (D5)$$

$$\frac{\partial E}{\partial y} = 0 \quad (D6)$$

Sustituyendo las ecs D2 y D3 en D4 y aplicando las ecs D5 y D6 se obtiene

$$(a^T a + b^T b) x - (a^T b - b^T a) y = a^T c + b^T d \quad (D7)$$

$$(a^T b + b^T a) x + (a^T a + b^T b) y = a^T d - b^T c \quad (D8)$$

lo que es equivalente a la ecuación

$$A^{*T} A z = A^{*T} C \quad (D9)$$

donde  $A^*$  = matriz conjugada de  $A$ . El sistema resultante tiene el mismo número de ecuaciones que de incógnitas.

Si se desea dar pesos diferentes a cada una de las ecuaciones del sistema de la ec D1 se puede obtener que

$$A^{*T} W A z = A^{*T} W C \quad (D10)$$

donde  $W$  = matriz diagonal que contiene los pesos asociados a cada ecuación.

## APENDICE E. PROGRAMAS PARA CALCULADORA

En este apéndice se presenta una breve descripción de los programas para calculadora digital utilizados. Se definen en cada caso las principales variables de entrada y se comentan las características de los distintos componentes de los programas. En la fig E.1 se presenta un *diagrama de flujo* que ilustra un esquema general de los cálculos. Se incluyen listados de los programas en lenguaje FORTRAN IV, así como resultados de una corrida típica. Se utilizó la calculadora digital Burroughs B7700 del Centro de Servicios de Cómputo de la UNAM.

Los programas calculan los desplazamientos en la frontera del cañón y la superficie del semiespacio esto lo hacen en *puntos de control* que se generan o entran como datos. Para dichos puntos se calculan también los componentes de esfuerzo para fines de comprobación.

### E.1 Incidencia de ondas SH

El programa para tratar incidencia de ondas SH consta de seis subrutinas y un programa principal.

En la subrutina LECTOR se leen valores para las siguientes variables:

- ING       = indicador de geometría, igual a 1, 2 o 3 si el cañón es triangular, cosenoïdal o elíptico, respectivamente
- INP       = indicador de puntos de control, si es igual a 1 se lee el número de puntos de control, sus coordenadas y el ángulo que forma la normal con la horizontal; si es 2 genera dicha información
- N         = número de puntos de colocación en la frontera del cañón
- NF        = número de fuentes
- GAM      = ángulo de incidencia, en grados
- CØ        = separación promedio entre las fuentes y la frontera, como fracción del semiancho del cañón,  $\alpha$



- AK1        = frecuencia adimensional inicial ( $AK = ka$ )
- AK2        = frecuencia adimensional final
- DAK        = incremento en la frecuencia adimensional
- XI, XL, DX = abscisas inicial y final e incremento horizontal para localizar puntos de control, como fracción de  $a$
- NPC        = número de puntos de control
- XC, YC, TC = coordenadas normalizadas y ángulo en radianes (que forma la normal con la horizontal), en un punto de control
  
- K           = punto de colocación en el que se introduce un peso diferente de la unidad
- P           = peso en el punto K
- B           = profundidad del cañón como fracción de  $a$
- EP          = radio de la circunferencia tangente a los bordes, cañón triangular

Las subrutinas ERREFE y EREFCO son auxiliares en el cálculo de las derivadas en puntos de colocación en la frontera y en puntos de control.

La subrutina SYM premultiplica el sistema de ecuaciones original por la traspuesta conjugada de la matriz de coeficientes. Introduce en el arreglo los pesos requeridos.

La subrutina SØLUCØ resuelve el sistema factorizando la matriz de coeficientes como el producto de dos matrices *triangulares*, una inferior y otra superior. Emplea en la solución dos sustituciones recursivas, una *hacia adelante* y otra *hacia atrás*, respectivamente. La solución queda en el vector de términos independientes.

La subrutina HANKEL calcula las funciones de Hankel de segunda especie, de órdenes cero y uno. Dicha subrutina es una adaptación para argumentos reales de la versión desarrollada por Waas (47). Se emplean las expresiones para los desarrollos asintóticos de las funciones de Hankel (1).

El programa principal ordena la secuencia de operaciones y sigue el esquema del *diagrama de flujo* de la fig E.1. Se imprimen los datos del programa, así como el desplazamiento UZ, su amplitud UZR, su fase FASE,

la derivada normal DUN y la derivada normal normalizada. Los cálculos dependen de la frecuencia adimensional  $ka$ . Se toma siempre  $\alpha = 1.0$ .

Los datos se introducen de la siguiente manera:

Tarjeta	Variables	Campos	
1a.	ING, INP	2I5	
2a.	N, NF, GAM, B, CØ	2I5, 3F10.0	
3a.	AK1, AK2, DAK	3F10.0	
4a.	NPC	I5	} si INP=2
5a.	XC, YC, TC	3F10.0	
⋮	⋮	⋮	
(4+NPC) a.	XC, YC, TC	3F10.0	} si INP=1
4a.	XI, XL, DX	3F10.0	
4a.	EP	F10.0	} si ING=1
5a.	Como la cuarta cuando INP=1,2		
⋮			

Si hay pesos diferentes de la unidad estos se introducen a continuación:

Tarjeta	Variables	Campos
Tantas como pesos	K, P	I5, F10.0

La última tarjeta de la serie irá en blanco.

En la fig E.2 se muestra el listado del programa y los resultados de una corrida típica.

## E.2 Incidencia de ondas P o SV

Este programa consta de doce subrutinas y un programa principal.

La subrutina LECTØR es una modificación de la correspondiente del programa anterior. Se leen valores para las siguientes variables:

ING, INP	=	indicadores de geometría y puntos de control, respectivamente
IND	=	indicador del tipo de onda incidente, si es igual a 1 se trata de ondas P, si es 2 de ondas SV
N	=	número de puntos de colocación

NFS	= número de fuentes SV
NFP	= número de fuentes P
NINC	= número de ángulos incidencia
B	= profundidad
CØZ	= separación promedio entre las fuentes SV y la frontera
CØP	= separación promedio entre las fuentes P y la frontera
GAM(I)	= ángulos de incidencia
WR	= frecuencia circular (parte real)
WI	= frecuencia circular (parte imaginaria)
CP	= velocidad de ondas P
CS	= velocidad de ondas S
AL	= distancia entre fuentes ficticias
MSER	= número de términos en las sumas para los esfuerzos y desplazamientos de las fuentes

Las variables que se dan a continuación tienen el mismo significado que en el caso HS: XI, XL, DX, NPC, XC, YC, TC, K, P y B.

ASA es una subrutina para impresión de matrices.

En FREE se evalúa la solución de campo libre, depende de ID la evaluación de desplazamientos (ID=1) o esfuerzos (ID=2). Se emplean las expresiones dadas en el capítulo 2.

DERS es una subrutina auxiliar en el cálculo de derivadas.

Las subrutinas ESFP, ESFS, DESFP y DESPFS calculan esfuerzos y desplazamientos asociados a las fuentes sin considerar reflexiones en la superficie libre. Se emplean las expresiones del Apéndice D y del capítulo 2.

CØMPLE es la subrutina que calcula esfuerzos y desplazamientos debidos a las reflexiones en la superficie libre. Ahí se agregan esas contribuciones a la matriz de coeficientes.

SYM y SØLUCØ son las mismas que en el programa para ondas SH, excepto por modificaciones para incluir varios términos independientes.

HANKEL es en esencia la misma subrutina que en el caso SH, salvo porque aquí calcula  $H_0^{(2)}(\cdot)$  y su primera y segunda derivadas.

Los datos entran de una manera similar al caso SH.

Se calculan desplazamientos vertical y horizontal normalizados con respecto al que se tendría en la solución de campo libre.

La fig E.3 exhibe el listado del programa.



Fig E.1 . Diagrama de flujo general

```

COMPCN/FP/1,1,1,2,F1,F2,F3,F4,IC,JP
COMPCN/LFC/1,1,1,1,PC,GAIN,AK1,AK2,CAK
COMPCN/LE/2(100),Y(100),T(100),XF(100),YF(100),XC(100),
Y(100),TC(100),H
COMPLEX A(100,30) * B(100) * F1 * H2 * P1 * P2 * UNC * U * V * LZ(100)
DO 100(100)
COMPCN/SCL1/ A
COMPCN/SCL2/ U,HH
DIMENSION L2(100),FASE(100)
      LEE L GENERA DATOS
C
666 CALL LECTIC
      IF (AK1.EC.E0) GO TO 661
      PI=3.141592654
      SGAN=1/(GAIN)
      CAK=COS(CAK)
      NK=NF
      UNO=(C.C * 1.0)
C
      CALCULA LOS COEFICIENTES DEL SISTEMA PARA LA FRECUENCIA AK
DO 95 AK=AK1,AK2,DAK
      CGK=CGAN*AK
      SGK=SGAN*AK
      AKPI=AK/3.1415926
C
      DO 90 JP=1,1
      STJ=SIN(TC(JP))
      CTJ=CCS(TC(JP))
      UP=CCS(SCK*X(JP))
      UI=-SIN(SCK*X(JP))
      VR=-SIN(SCK*Y(JP))
      VI=CCS(SCK*Y(JP))
      U=CMPLX(U,UI)
      V=CMPLX(VR,VI)
C
      B(JP)=2.C*U*V
      DO 80 IC=1,1
      CALL ERFFE
      R1K=AK*R1
      CALL FAKEL(R1K,HP1,H1)
      HP1=-FP1
      R2K=AK*R2
      CALL FAKEL(R2K,HP2,H2)
      HP2=-FP2
      A(JP,IC)=LHC/4.0*((HP1*F1+HP2*F2)*CTJ-(F1*F3+F2*F4)*STJ)
C
80 CONTINUE
90 CONTINUE
C
      PREGUNTA SI EL SISTEMA ES SOBREDETERMINADO Y RESUELVE
      IF (N.CT.NF) CALL SYM(N)
      CALL SOLUCU(KLAN)
      IF (RPAI.EC.E0) GO TO 92
      WRITE(6,IC1)AK
C
101 FORMAT(//20('N '),5Y,' PARA AK=',F12.4,' SE DIVIDE',
1 1X,' POR CERO',5X,20(' '),//)
      GO TO 95
92 CONTINUE
      WRITE(6,IC2)AK,AKPI
102 FORMAT(//20X,' AK=',F12.4,10X,' AK/PI=',F12.4,///
1 11X,' PUNTO',20X,' LZ',20X,' UZ',10X,' FASE',10X,' CLN',10X,' END',//)
C
      PARA LA SOLUCION PARA LOS PUNTOS DE CONTROL
      COMPRUEBA LA CONDICION DE FRONTERA
DO 94 JP=1,1
      ARG1=CGK*Y(JP)
      ARG2=-SGK*XC(JP)
      FAC=2.0*CCS(ARG1)
C
      U=CMPLX(CCS(ARG2)*SIN(ARG2))
      STJ=SIN(TC(JP))
      DUN(JP)=LHC*SGK*1/2*(JP)=CTJ
      FAC2=2.C*SIN(ARG1)*STJ
C
      DUN(JP)=DUN(JP)*CGK*FAC2*U
      DUN=CAFS(DUN(JP))
      DO 93 IC=1,1
      CALL ERFFCU
      R1K=AK*R1
      CALL FAKEL(R1K,HP1,H1)
      HP1=-FP1
      R2K=AK*R2
      CALL FAKEL(R2K,HP2,H2)
      HP2=-FP2
      UZ(JP)=LHC/4.0*(H1+H2)*D(10)+LZ(JP)
C
      V= AK * LHC/4.0*((HP1*F1+HP2*F2)*CTJ-(F1*F3+F2*F4)*STJ)*B(10)
C
93 CONTINUE
      UZB(JP)=CAUS(UZ(JP))
      RUZ=REAL(UZB(JP))
      YUZ=ATNAC(UZB(JP))
      FASE(JP)=ATNAC(YUZ,RUZ)/PI
      IF (DLAD.(C.C.U) LUN=1.0
      EDR=CAFS(DUN(JP))/DUNO
C
103 WRITE(6,IC3)U, UZ(JP), UZB(JP), FASE(JP), DUN(JP), EDR
103 FORMAT(11X,13,5X,1E15.8)
93 CONTINUE
      AK1=C.0
C
      PARA A LEER OTROS DATOS
      GO TO 666
661 CALL EXIT
      END

```

Fig E.2. Listado del programa para incidencia de ondas SH y resultados de una corrida típica

```

SUBROUTINE LLEFFE
  COMMON /FP/ I, J, F1, F2, F3, FA, I, J
  COMMON /LEC/ I, J, H, HPC, GAMR
  COMMON /LL/ X(100), Y(100), T(100), XF(100), YF(100), XC(100)
  COMMON /LE/ YC(100), TC(100)
  
```

CALCULO DE LA DERIVADA PARA LOS PUNTOS EN LA FRONTERA

```

A=XF(I)-XF(J)
B=YF(I)-YF(J)
C=X(I)-X(J)
D=Y(I)-Y(J)
R1=SQRT(A**2+B**2)
R2=SQRT(C**2+D**2)
F1=-A/R1
F2=-B/R1
F3=-C/R2
F4=-D/R2
RETURN
END
  
```

```

SUBROUTINE LLEFFCO
  COMMON /FP/ I, J, F1, F2, F3, FA, I, J
  COMMON /LEC/ I, J, H, HPC, GAMR
  COMMON /LE/ X(100), Y(100), T(100), XF(100), YF(100), XC(100)
  COMMON /LE/ YC(100), TC(100)
  
```

CALCULO DE LA DERIVADA PARA LOS PUNTOS DE CONTROL

```

A=XF(I)-XC(J)
B=YF(I)-YC(J)
C=X(I)-XC(J)
D=Y(I)-YC(J)
R1=SQRT(A**2+B**2)
R2=SQRT(C**2+D**2)
F1=-A/R1
F2=-B/R1
F3=-C/R2
F4=-D/R2
RETURN
END
  
```

```

SUBROUTINE LECTOR
  ESTA RUTINA LEE O GENERA LOS DATOS
  COMMON /LEC/ I, J, H, HPC, GAMR, AK1, AK2, DAK
  COMMON /LE/ X(100), Y(100), T(100), XF(100), YF(100), XC(100)
  COMMON /LE/ YC(100), TC(100)
  COMMON /LFC/ INC, INP, H, HPC, GAMR, B, CO
  READ(5,99) INC, INP, H, HPC, GAMR, B, CO
  
```

```

99 FORMAT(2I5/(2I5,3F10.0))
  WRITE(6,10) CU TO 104
  AK1=141.421356237
  GAMR=GAMR*PI/180.0
  COB=1.0-CC
  COB=B-CC
  71 FORMAT(2,3X,"PUNTOS DE CONTROL",//,15X,"PUNTO",7X,"XC",13X,"YC",
  13X,"TC",//)
  
```

LEE FRECUENCIAS

```

10 READ(7,10) AK1, AK2, DAK
  WRITE(8,10) I, J, H, HPC, GAMR, B, CO
  100 FORMAT(2I5,3F10.0,15X,"PUNTOS EN LA FRONTERA",15//
  120X,"NUMERO DE FUENTES",15//
  130X,"ANGULO DE INCIDENCIA",F5.2,"GRADOS",/20X,2,"PROFUNDIDAD",F5.2,
  130X,"DISTANCIA ENTRE LAS FUENTES Y LA FRONTERA",F5.2)
  
```

ELIGE GEOMETRIA

```

  INCI=TRIANGULO, INC=2 COSENO, INC=3 ELIPSE
  1000 IF(INC=2) 3000,2000,1000
  801 WRITE(8,10) I, J, H, HPC, GAMR, B, CO
  802 WRITE(8,10) I, J, H, HPC, GAMR, B, CO
  803 WRITE(8,10) I, J, H, HPC, GAMR, B, CO
  804 WRITE(8,10) I, J, H, HPC, GAMR, B, CO
  805 WRITE(8,10) I, J, H, HPC, GAMR, B, CO
  806 WRITE(8,10) I, J, H, HPC, GAMR, B, CO
  807 WRITE(8,10) I, J, H, HPC, GAMR, B, CO
  808 WRITE(8,10) I, J, H, HPC, GAMR, B, CO
  809 WRITE(8,10) I, J, H, HPC, GAMR, B, CO
  810 WRITE(8,10) I, J, H, HPC, GAMR, B, CO
  811 WRITE(8,10) I, J, H, HPC, GAMR, B, CO
  812 WRITE(8,10) I, J, H, HPC, GAMR, B, CO
  813 WRITE(8,10) I, J, H, HPC, GAMR, B, CO
  814 WRITE(8,10) I, J, H, HPC, GAMR, B, CO
  815 WRITE(8,10) I, J, H, HPC, GAMR, B, CO
  816 WRITE(8,10) I, J, H, HPC, GAMR, B, CO
  817 WRITE(8,10) I, J, H, HPC, GAMR, B, CO
  818 WRITE(8,10) I, J, H, HPC, GAMR, B, CO
  819 WRITE(8,10) I, J, H, HPC, GAMR, B, CO
  820 WRITE(8,10) I, J, H, HPC, GAMR, B, CO
  821 WRITE(8,10) I, J, H, HPC, GAMR, B, CO
  822 WRITE(8,10) I, J, H, HPC, GAMR, B, CO
  823 WRITE(8,10) I, J, H, HPC, GAMR, B, CO
  824 WRITE(8,10) I, J, H, HPC, GAMR, B, CO
  825 WRITE(8,10) I, J, H, HPC, GAMR, B, CO
  826 WRITE(8,10) I, J, H, HPC, GAMR, B, CO
  827 WRITE(8,10) I, J, H, HPC, GAMR, B, CO
  828 WRITE(8,10) I, J, H, HPC, GAMR, B, CO
  829 WRITE(8,10) I, J, H, HPC, GAMR, B, CO
  830 WRITE(8,10) I, J, H, HPC, GAMR, B, CO
  831 WRITE(8,10) I, J, H, HPC, GAMR, B, CO
  832 WRITE(8,10) I, J, H, HPC, GAMR, B, CO
  833 WRITE(8,10) I, J, H, HPC, GAMR, B, CO
  834 WRITE(8,10) I, J, H, HPC, GAMR, B, CO
  835 WRITE(8,10) I, J, H, HPC, GAMR, B, CO
  836 WRITE(8,10) I, J, H, HPC, GAMR, B, CO
  837 WRITE(8,10) I, J, H, HPC, GAMR, B, CO
  838 WRITE(8,10) I, J, H, HPC, GAMR, B, CO
  839 WRITE(8,10) I, J, H, HPC, GAMR, B, CO
  840 WRITE(8,10) I, J, H, HPC, GAMR, B, CO
  841 WRITE(8,10) I, J, H, HPC, GAMR, B, CO
  842 WRITE(8,10) I, J, H, HPC, GAMR, B, CO
  843 WRITE(8,10) I, J, H, HPC, GAMR, B, CO
  844 WRITE(8,10) I, J, H, HPC, GAMR, B, CO
  845 WRITE(8,10) I, J, H, HPC, GAMR, B, CO
  846 WRITE(8,10) I, J, H, HPC, GAMR, B, CO
  847 WRITE(8,10) I, J, H, HPC, GAMR, B, CO
  848 WRITE(8,10) I, J, H, HPC, GAMR, B, CO
  849 WRITE(8,10) I, J, H, HPC, GAMR, B, CO
  850 WRITE(8,10) I, J, H, HPC, GAMR, B, CO
  851 WRITE(8,10) I, J, H, HPC, GAMR, B, CO
  852 WRITE(8,10) I, J, H, HPC, GAMR, B, CO
  853 WRITE(8,10) I, J, H, HPC, GAMR, B, CO
  854 WRITE(8,10) I, J, H, HPC, GAMR, B, CO
  855 WRITE(8,10) I, J, H, HPC, GAMR, B, CO
  856 WRITE(8,10) I, J, H, HPC, GAMR, B, CO
  857 WRITE(8,10) I, J, H, HPC, GAMR, B, CO
  858 WRITE(8,10) I, J, H, HPC, GAMR, B, CO
  859 WRITE(8,10) I, J, H, HPC, GAMR, B, CO
  860 WRITE(8,10) I, J, H, HPC, GAMR, B, CO
  861 WRITE(8,10) I, J, H, HPC, GAMR, B, CO
  862 WRITE(8,10) I, J, H, HPC, GAMR, B, CO
  863 WRITE(8,10) I, J, H, HPC, GAMR, B, CO
  864 WRITE(8,10) I, J, H, HPC, GAMR, B, CO
  865 WRITE(8,10) I, J, H, HPC, GAMR, B, CO
  866 WRITE(8,10) I, J, H, HPC, GAMR, B, CO
  867 WRITE(8,10) I, J, H, HPC, GAMR, B, CO
  868 WRITE(8,10) I, J, H, HPC, GAMR, B, CO
  869 WRITE(8,10) I, J, H, HPC, GAMR, B, CO
  870 WRITE(8,10) I, J, H, HPC, GAMR, B, CO
  871 WRITE(8,10) I, J, H, HPC, GAMR, B, CO
  872 WRITE(8,10) I, J, H, HPC, GAMR, B, CO
  873 WRITE(8,10) I, J, H, HPC, GAMR, B, CO
  874 WRITE(8,10) I, J, H, HPC, GAMR, B, CO
  875 WRITE(8,10) I, J, H, HPC, GAMR, B, CO
  876 WRITE(8,10) I, J, H, HPC, GAMR, B, CO
  877 WRITE(8,10) I, J, H, HPC, GAMR, B, CO
  878 WRITE(8,10) I, J, H, HPC, GAMR, B, CO
  879 WRITE(8,10) I, J, H, HPC, GAMR, B, CO
  880 WRITE(8,10) I, J, H, HPC, GAMR, B, CO
  881 WRITE(8,10) I, J, H, HPC, GAMR, B, CO
  882 WRITE(8,10) I, J, H, HPC, GAMR, B, CO
  883 WRITE(8,10) I, J, H, HPC, GAMR, B, CO
  884 WRITE(8,10) I, J, H, HPC, GAMR, B, CO
  885 WRITE(8,10) I, J, H, HPC, GAMR, B, CO
  886 WRITE(8,10) I, J, H, HPC, GAMR, B, CO
  887 WRITE(8,10) I, J, H, HPC, GAMR, B, CO
  888 WRITE(8,10) I, J, H, HPC, GAMR, B, CO
  889 WRITE(8,10) I, J, H, HPC, GAMR, B, CO
  890 WRITE(8,10) I, J, H, HPC, GAMR, B, CO
  891 WRITE(8,10) I, J, H, HPC, GAMR, B, CO
  892 WRITE(8,10) I, J, H, HPC, GAMR, B, CO
  893 WRITE(8,10) I, J, H, HPC, GAMR, B, CO
  894 WRITE(8,10) I, J, H, HPC, GAMR, B, CO
  895 WRITE(8,10) I, J, H, HPC, GAMR, B, CO
  896 WRITE(8,10) I, J, H, HPC, GAMR, B, CO
  897 WRITE(8,10) I, J, H, HPC, GAMR, B, CO
  898 WRITE(8,10) I, J, H, HPC, GAMR, B, CO
  899 WRITE(8,10) I, J, H, HPC, GAMR, B, CO
  900 WRITE(8,10) I, J, H, HPC, GAMR, B, CO
  
```

GENERA PUNTOS EN LA FRONTERA Y FUENTES

```

DO 44 I=1,11
  AN=1.0
  CA=CCS(ALF)
  SA=SIN(ALF)
  YC(I)=CA
  XC(I)=B+SA
  TC(I)=ATAN2(SA,-B*CA)
  44 CONTINUE
  CO=77
  ALF=PI
  YC(I)=CCS(ALF)
  XC(I)=SIN(ALF)
  TC(I)=CCS(ALF)
  77 CONTINUE
  
```

Fig E.2. (Continuación)

```

C
C          INP=1 LLE PUNTOS DE CONTROL , INP=2 GENERA PUNTOS DE CONTROL
1598 IF (INP=1) 4,1500,1750
      READ(5,72) I,PC
      DD 13 I=1,1,PC
      REAC(5,73) XC(I),YC(I),TC(I)
      WRITE(6,73) I,XC(I),YC(I),TC(I)
30 CONTINUE
      GO TO 4
1750 READ(5,71) XI,XL,DX
      NP=XL-XI)/CA+1.0
      DD 11 I=1,1,PC
      AI=1
      XC=XI+(AI-1.0)*DX
      IF (ABS(XXC)-1.0) 85,86,86
      YC=SCRT(1.0-XXC*XXC)
      TC=ATAN2(YC,-XXC/DE)
      YC(I)=YC
      XC(I)=XXC
      GO TO 87
86 YC(I)=0.0
      TC(I)=PI/2.0
      XC(I)=XXC
87 WRITE(6,73) I,XC(I),YC(I),TC(I)
91 CONTINUE
      GO TO 4
2000 WRITE(6,81)
      81 FORMAT(//,50X," C O S E N O I D E "////)
      WRITE(6,71)
      ALFA=PI
      ANF=PI
      DXF=2.0/(AI+1.0)
      DXF=2.0*CCU/(ANF+1.0)
C
C          GENERA PUNTOS EN LA FRONTERA Y FUENTES
      DD 11 I=1,1,
      AI=1
      PX=1.0+CCP*AI
      YC(I)=ALFA/2.0*(1.0+COS(PI*PX))
      XC(I)=ATAN2(2.0,-ALFA*PI+SIN(PI*PX))
      XC(I)=PX
11 CONTINUE
      DD 11 I=1,1,IF
      AI=1
      XC=CCO+CCF*AI
      YC(I)=ALFA/2.0*(1.0+COS(PI*XC/CCO))
      XC(I)=XC
111 CONTINUE
C
C          INP=1 LLE PUNTOS DE CONTROL , INP=2 GENERA PUNTOS DE CONTROL
2500 IF (INP=1) 4,2500,2750
      READ(5,72) I,PC
      DD 13 I=1,1,PC
      REAC(5,73) XC(I),YC(I),TC(I)
      WRITE(6,73) I,XC(I),YC(I),TC(I)
130 CONTINUE
      GO TO 4
2750 READ(5,71) XI,XL,DX
      NP=(XL-XI)/CA+1.0
      DD 12 I=1,1,PC
      AI=1
      XC=XI+(AI-1.0)*DX
      IF (ABS(XXC)-1.0) 13,14,14
      YC=SCRT(1.0-XXC*XXC)
      TC=ATAN2(2.0,-ALFA*PI+SIN(PI*XXC))
      YC(I)=YC
      XC(I)=XXC
      GO TO 15
14 YC(I)=0.0
      XC(I)=XXC
      TC(I)=PI/2.0
15 WRITE(6,73) I,XC(I),YC(I),TC(I)
15 CONTINUE
      GO TO 4
3000 WRITE(6,82)
      82 FORMAT(//,50X," T R I A N G U L O "////)
      WRITE(6,71)
      FCO=2.0*CCU/(1.0+1)
      IA=ATAN2(1.0,-B)
      IB=ATAN2(1.0/B)
      XC=1.0
      REAC(5,73) LP
      WRITE(6,71)
      B=D*EF ) CCB=U-CO
3001 FORMAT(F10.0)
      B=D*EF ) CCB=U-CO
C
C          GENERA PUNTOS EN LA FRONTERA Y FUENTES
      DD 25 I=1,1,
      XF=XE+FC*
      IF (XF) 18,19,20
18 XF(I)=XF
      YC(I)=CCB*(1.0+XE/COO)
      GO TO 19
19 XF(I)=0.0
      YC(I)=CCB*U
      GO TO 25
20 XF(I)=XF
      YC(I)=CCB*(1.0+XE/COO)
25 CONTINUE
      DP=0-EP
      OL=1.0/0
      SEL=SCRT(1.0+LL*UL)
      RD=EP*RL*(UL+SBL)
      XA=RR/SEL
      DD 25 I=1,1,
      XX=XE+FC*
      IF (ABS(XX)-1.0) 47,47,47
      IF (ABS(XX)-XA) 46,47,47
47 IF (XX) 46,47,47
48 XC(I)=XX

```

Fig E.2. (Continuación)



```

Y(I)=P*(1.0+XX)
TC(I)=T2
GO TO 625
620 X(I)=XX
Y(I)=E*(1.0-XX)
TC(I)=T1
GO TO 625
46 RAI=SCR1(RI,RI,XX*XX)
Y(I)=FAI-RI*DI
TC(I)=TAI.2(RAI,XX)
X(I)=XX
625 CONTINUE
CARGA
      INF=1 LLE PUNTOS DE CONTROL , IMP=2 GENERA PUNTOS DE CONTROL
3500 IF (IAP=1) A,3500,3750
      READ(5,72) R,PC
      DD 23C I=1,PC
      READ(5,73) X(I),Y(I),TC(I)
230 CONTINUE
      GO TO 4
3750 READ(5,1C) XI,XL,UX
      R=C*(XL-XI)/UX+1.0
      DD 37 I=1,PC
      AM=I,XX=XI*(AI=1.0)+X
      IF (X(XI)=1.0) 32,33,34
      IF (X(XI)=2.0) 35,39,39
      IF (X(XI)=3.0) 34,34,34
35 RAI=SCR1(RI,RI,XX*XX)
Y(I)=FAI-RI*DI
TC(I)=TAI.2(RAI,XX)
X(I)=XX
      GO TO 31
34 Y(I)=P*(1.0-XX) / TC(I)=T1 / XC(I)=XX / GR TB 31
Y(I)=E*(1.0+XX) / TC(I)=T2 / XC(I)=XX / GR TB 31
XC(I)=XX / Y(I)=0.0 / TC(I)=PI/2.0
      MPITE(6,73) I,X(I),Y(I),TC(I)
39 CONTINUE
CARGA
      LEE PESOS EN LOS PUNTOS
4 READ(5,42) K,P
      DD 31 I=1,PC
      Y(I)=C*(X(I)-1.0)
      IF (K) 312,302,312
302 READ(5,42) K,P
      CONTINUE
312 FORMAT(15,F10.0)
73 FORMAT(15,13X,15,3F15.6)
301 FORMAT(7,35X,"FUENTES",//,15X,"PUNTO",7X,"XF",13X,"YF",//)
      DD 5C I=1,PC
      WRITE(6,5C3) I,X(I),Y(I)
304 CONTINUE
      WRITE(6,5C2)
302,1 FORMAT(7,35X,"PUNTOS",//,15X,"PUNTO",7X,"X",14X,"Y",14X,"T",14X,
PESESA,//)
      DD 5C I=1,PC
      AM=CARS(I)
      WRITE(6,5C6) I,X(I),Y(I),TC(I),AM
305 CONTINUE
306 FORMAT(7,13X,15,4F15.6)
304,1 FORMAT(7,13X,15,2F15.6)
304 RETURN
END
SUBROUTINE SYH(N)
COMMON/SEL1/A
COMMON/SEL2/B,NH
COMMON/LE/ X(100),Y(100),T(100),XF(100),YF(100),XC(100),
YC(100),TC(100),M
COMPLEX C(100),D(100,100),H(100)
COMPLEX A(100,30),U(100),SUM,ZERO,SUM,BALIN
      EL SISTEMA DE ECUACIONES INICIAL DE M,MI CUEDA DE N,NA
      Y LA LEY DE RESPUESTA CONJUGADA DE A PCR A Y PCR B
      ES EL PESO DEL PLATO L
      ZERO=(0,C=0,C)
      DD 1C I=1,PC
      DD 1C J=1,PC
      SUM=ZERO
      DO 5 L=1,M
      BALIN=CONJUG(A(L,I))
      SUM=SUM+BALIN*H(L)
5 CONTINUE
      O(I,J)=SUM
10 CONTINUE
      SUM=ZERO
      DD 15 L=1,NH
      BALIN=CONJUG(A(L,I))
      SUM=SUM+BALIN*H(L)*O(L)
15 CONTINUE
      C(I)=SUM
20 CONTINUE
      DD 3C I=1,PC
      DD 2C J=1,PC
      A(I,J)=C(I,J)
25 CONTINUE
      B(I)=C(Y)
30 CONTINUE
      RETURN
      END

```

Fig E.2. (Continuación)

```

SUBROUTINE SOLUCO(KRAN)
  COMPLEX/4/ A(100,100), ZERU,SUM
  LA SOLUCION QUELA EN B
  ZERU=(0,C,0,0)
  EPS1=1.CE-20

  TRIANGULARIZACION DE A
  DO 10 I=1,N
  DO 9 J=I,N
  SUM=ZERC
  IF (I.EQ.1) GO TO 5
  DO 4 K=I-1,1
  4 SUM=SUM+A(I,K)*A(K,J)
  5 A(I,J)=A(I,J)-SUM
  IF (J.EQ.N) GO TO 9
  SUM=ZERC
  IF (I.EQ.1) GO TO 7
  DO 6 K=I-1,1
  6 SUM=SUM+A(I,K)*A(K,I)
  7 A(I,I)=A(I,I)-LE*EPS1 GO TO 1062
  A(J,I)=(A(J,I)-SUM)/A(I,I)
  10 CONTINUE

  ESPEJE DE LA TRIANGULAR INFERIOR
  DO 17 I=1,N-1
  SUM=ZERC
  IF (I.EQ.1) GO TO 14
  DO 15 K=1,I-1
  15 SUM=SUM+A(I,K)*B(K)
  16 B(I)=B(I)-SUM
  17 CONTINUE

  ESPEJE DE LA TRIANGULAR SUPERIOR
  DO 22 I=1,N
  SUM=ZERC
  IF (I.EQ.1) GO TO 19
  DO 20 K=1,I-1
  20 SUM=SUM+A(I,K)*B(KK)
  19 B(I)=(B(I)-SUM)/A(I,I) GO TO 1062
  22 CONTINUE
  KRAN=C
  GO TO 1063
1063 RETURN
END
  
```

```

SUBROUTINE MARKEL(X,U,HO)
  COMPLEX/4/ C1,C2,C3,E1,E2,P
  EPS1=1.CE-20
  EPS2=1.CE-10
  EPS3=1.A15G253
  U=PI
  IF (X.LE.1.C) GO TO 20
  C=C0.C+C.125)/X
  P=C
  P=C+C
  P=7.C+P
  HO=C+C+A
  NI=C-C+P
  10 K=K+1
  A=A+C*(1+1.C/K)
  P=P+C*(1-1.C/K)
  HO=HO+A
  HI=HI-P
  IF (ABS(C*IMAG(P)).GT.EPS1) GO TO 10
  AR=0.25*PI-X
  B=SGN(2.C-ULPI/X)*CHPLX(COS(AR),SIN(AR))
  HO=HO+B
  HI=HI+B*(C.0+1.0)
  GO TO 50
  20 ZH=X/2.C
  CC=X/2.F
  C=CHPLX(C.0+ULPI)
  E2=C+2.0
  A=1.C-E2*(0.5772156649C1533+ALCG(0.5+X))
  K=1
  HO=A
  HI=A+C*(1.0-1.0/CC)
  30 A=A+E3/K
  P=P+CC
  HO=HO+A*PP
  K=K+1
  PP=PP/(K*K)
  U1=PI*(A*K+L)*PP
  IF (ABS(P).GT.EPS2) GO TO 30
  HI=HI+2.F
  50 RETURN
END
  
```

Fig E.2. (Continuación)

NUMERO DE PUNTOS EN LA FRONTERA 50  
 NUMERO DE FUENTES 10  
 ANGULO DE INCIDENCIA 0.00GRADOS  
 PROFUNDIDAD 1.00  
 DISTANCIA ENTRE LAS FUENTES Y LA FRONTERA 0.500

C I R C U L O

PLI:TC	PUNTOS DE CONTROL		
	XC	YC	TC
1	0.000000	1.000000	1.570796
2	-0.500000	0.866000	1.047198
3	-0.866000	0.500000	0.523599
4	-0.996200	0.087000	0.087267
5	-1.200000	0.000000	1.570796
6	-1.500000	0.000000	1.570796

PLI:TC	FUENTES	
	XF	YF
1	0.479746	0.140866
2	0.420627	0.270320
3	0.327430	0.377875
4	0.207709	0.454816
5	0.071157	0.494911
6	-0.071157	0.494911
7	-0.207709	0.454816
8	-0.327430	0.377875
9	-0.420627	0.270320
10	-0.479744	0.140866

PLI:TC	PUNTOS			
	X	Y	T	FEBO
1	0.998103	0.061561	3.079993	1.000000
2	0.992421	0.122888	3.018393	1.000000
3	0.982973	0.183750	2.956793	1.000000
4	0.969797	0.243914	2.895193	1.000000
5	0.952942	0.303153	2.833593	1.000000
6	0.932472	0.361242	2.771994	1.000000
7	0.908465	0.417960	2.710394	1.000000
8	0.881012	0.473094	2.648794	1.000000
9	0.850217	0.526432	2.587194	1.000000
10	0.816197	0.577774	2.525594	1.000000
11	0.779081	0.626924	2.463994	1.000000
12	0.739009	0.673696	2.402394	1.000000
13	0.696134	0.717912	2.340795	1.000000
14	0.650618	0.759405	2.279195	1.000000
15	0.602635	0.798017	2.217595	1.000000
16	0.552365	0.833602	2.155995	1.000000
17	0.500000	0.866025	2.094395	1.000000
18	0.445738	0.895163	2.032795	1.000000
19	0.389786	0.920906	1.971195	1.000000
20	0.332355	0.943154	1.909596	1.000000
21	0.273663	0.961826	1.847996	1.000000
22	0.213933	0.976848	1.786396	1.000000
23	0.153392	0.988165	1.724796	1.000000
24	0.092268	0.995734	1.663196	1.000000
25	0.030795	0.999526	1.601596	1.000000
26	-0.030795	0.999526	1.539996	1.000000
27	-0.092268	0.995734	1.478397	1.000000
28	-0.153392	0.988165	1.416797	1.000000
29	-0.213933	0.976848	1.355197	1.000000
30	-0.273663	0.961826	1.293597	1.000000

Fig E.2.  
(Continuación)

31	0.332355	0.943154	1.231597	1.000000
32	0.385786	0.920906	1.170397	1.000000
33	0.445739	0.895163	1.108797	1.000000
34	0.500000	0.866025	1.047192	1.000000
35	0.552365	0.833602	0.985592	1.000000
36	0.602635	0.798017	0.923992	1.000000
37	0.651618	0.759405	0.862392	1.000000
38	0.696134	0.717912	0.800792	1.000000
39	0.739309	0.673696	0.739192	1.000000
40	0.779021	0.626924	0.677592	1.000000
41	0.816197	0.577774	0.615992	1.000000
42	0.850217	0.526432	0.554392	1.000000
43	0.881012	0.473094	0.492792	1.000000
44	0.908465	0.417960	0.431192	1.000000
45	0.932472	0.361242	0.369592	1.000000
46	0.952942	0.303153	0.307992	1.000000
47	0.969797	0.243914	0.246392	1.000000
48	0.982973	0.183750	0.184800	1.000000
49	0.992423	0.122888	0.123200	1.000000
50	0.998103	0.061561	0.061600	1.000000

NTC	AK= 0.6000	AK/PI= 0.1910	UZR	FASE	DUII	ERD	
1	.12413385E+01	.36854716E+00	.12942932E+01	.91866052E+01	.62317639E+03	.22830091E+04	.62033819E+03
2	.14184496E+01	.36636671E+00	.14649998E+01	.80456823E+01	.36395045E+03	.14870904E+04	.70607102E+03
3	.17005115E+01	.36200845E+00	.18169401E+01	.63847566E+01	.58987325E+03	.18529151E+04	.33283917E+02
4	.19598072E+01	.35989962E+00	.15925798E+01	.57810355E+01	.15569249E+02	.56941997E+04	.28551172E+00
5	.19773122E+01	.35709230E+00	.20092991E+01	.56873049E+01	.27345570E+08	.70747547E+09	.58245927E+08
6	.20169167E+01	.34421620E+00	.20460726E+01	.53805824E+01	.40224136E+08	.15614533E+08	.43148520E+08

NTC	AK= 0.8000	AK/PI= 0.2546	UZR	FASE	DUII	ERD	
1	.78663294E+00	.56079455E+00	.96606517E+00	.19714033E+00	.11381455E+02	.79413199E+04	.69402574E+03
2	.10473847E+01	.54902003E+00	.12270600E+01	.14765644E+00	.67000427E+03	.56128849E+04	.75971838E+03
3	.17433874E+01	.52548072E+00	.18202601E+01	.93186209E+01	.10775493E+02	.66767250E+04	.34654756E+02
4	.20685090E+01	.51408203E+00	.21314338E+01	.77537633E+01	.28419104E+02	.15803016E+03	.59375649E+00
5	.20996392E+01	.50594978E+00	.21597389E+01	.75268118E+01	.47750799E+08	.19983484E+08	.51763679E+08
6	.21674412E+01	.47009496E+00	.22178353E+01	.67685037E+01	.67359686E+08	.42954539E+08	.79890048E+08

NTC	AK= 1.0000	AK/PI= 0.3183	UZR	FASE	DUII	ERD	
1	.25390227E+00	.78068855E+00	.22093908E+00	.35691106E+00	.18135410E+02	.21435289E+03	.70851031E+02
2	.72589219E+00	.73885614E+00	.10357740E+01	.25281717E+00	.10765027E+02	.14642304E+03	.A2342941E+03
3	.17286102E+01	.65521604E+00	.18480221E+01	.11532672E+00	.17185591E+02	.18516953E+03	.36053693E+02
4	.22437566E+01	.61469933E+00	.23264349E+01	.85115737E+01	.45246290E+02	.53414085E+03	.30081295E+00
5	.22907674E+01	.55627678E+00	.23671151E+01	.81055332E+01	.69199593E+08	.43716742E+08	.61851914E+08
6	.23851506E+01	.51941930E+00	.24410530E+01	.68253349E+01	.89550106E+08	.90555685E+08	.12735601E+07

NTC	AK= 1.2000	AK/PI= 0.3820	UZR	FASE	DUII	ERD	
1	.31524889E+00	.10524900E+01	.10986888E+01	.59263515E+00	.26076175E+02	.46612744E+03	.11842097E+02
2	.32210971E+00	.94319439E+00	.99867965E+00	.39524713E+00	.15607218E+02	.31209571E+03	.88036398E+03
3	.17158369E+01	.72463312E+00	.18625760E+01	.12719629E+00	.24755759E+02	.40996926E+03	.37033654E+02
4	.24512710E+01	.61872795E+00	.25281530E+01	.78701019E+01	.64997956E+02	.11601136E+02	.30289401E+00
5	.25131425E+01	.58413266E+00	.25801349E+01	.72694397E+01	.84236838E+06	.78909732E+08	.11542353E+07
6	.26194830E+01	.44895833E+00	.26576785E+01	.54030782E+01	.91661261E+08	.15576090E+07	.18072976E+07

Fig E.2. (Continuación)



```

JPT=JF+IPC
SUM=ZEPD/2UM=ZEPD/SOP=ZERC/ZCM=ZERO
DO 85 I=1,NINC
  X(I)=X(I)+ALC(JP,VI)*LAL
  Y(I)=Y(I)+ALC(JP,VI)*LAL
  Z(I)=Z(I)+ALC(JP,VI)*LAL
  W(I)=W(I)+ALC(JP,VI)*LAL
  U(I)=U(I)+ALC(JP,VI)*LAL
  V(I)=V(I)+ALC(JP,VI)*LAL
  CONTINUE
85 SX=HC(JP,INC)*SUM
  SY=HC(JP,INC)*SUM
  UX=(LC(JP,INC)+SCH)/FACY
  UY=(LC(JP,INC)+SCH)/FACY
  UYDECAUS(LY)
  UYDECAUS(LY)
  WHITE(6,103)=P,SY,SY,UX,LYR,UY,LYR
  FORNAT(7X,13,2(2X,E10.4,1X,E10.4),2(3X,E10.4,1X,E10.4,2X,E10.4),/)
103 CONTINUE
95 CONTINUE
  CALL EXIT
  END

```

```

SUBROUTINE LECTUR
ESTA RUTINA LEE O GENERA LOS DATOS
COMMON/LE/X(250),Y(250),Z(250),XFP(25),YFP(25),
  XFS(25),YFS(25),ZFS(25),X2(100),Y2(100),Z2(100),H
COMMON/READ/IFP,NFP,NFS,NINC,AL,ARG(5)
COMMON/LE/CAK,AKF,AKS,CF,CS,HI,AL,MSER
COMPLEX UNO(500)
DIMENSION GAP(5)
READ(5,99)ING,INP,INC,N,NFS,NFP,NINC,R,COZ,CCP
99 FORMAT(3I5/(4I5,3F10.0))
  N=3,14,15,20,25,30,35,40,45,50,55,60,65,70,75,80,85,90,95,100
  READ(5,100)CAK(I),I=1,NINC
  DO 98 I=1,NINC
    A(G(I))=50,0-GAN(I)*PI/180.0
    I=I+1
  CONTINUE
  COBZ=B-CCZ
  COBP=B-CCP
  IF(ABS(EG.2)GT.100)GO TO 1009
  VARI=3H P
  GO TO 1008
1009 VARI=3H SV
1008 CONTINUE
71 FORMAT(7,30X,"PUNTOS DE CONTROL",//,15X,"PUNTO",7X,"XC",13X,"YC",
  13X,"ZC",//)

```

```

LEE FRECUENCIAS
10 FORMAT(6F10.0)
  READ(5,10)WR,CP,CS,HI,AL,MSER
  AKP=HI/CP,AKF=HI/CS
  WRITE(6,100)N,NFP,NFS,R,COZ,CCP
  WRITE(6,107)
197 FORMAT(7,20X,"ANGULOS DE INCIDENCIA",/)
  DO 198 I=1,NINC
    WRITE(6,199)GAN(I)
  CONTINUE
199 FORMAT(2CX,F8.2,3X,"GRADOS")
200 FORMAT(5F10.0,15)
  FORMAT(7,20X,"NUMERO DE PUNTOS EN LA FRONTERA",F15.7,
  20X,"NUMERO DE FUENTES P",15,20X,"NUMERO DE FUENTES SV",14,/,
  20X,"PROFUNDIDAD",10,/,
  20X,"DISTANCIA ENTRE LAS FUENTES PARA ONDAS S Y LA FRONTERA",F8.3,/,
  20X,"DISTANCIA ENTRE LAS FUENTES PARA ONDAS P Y LA FRONTERA",F8.3,/)
  WRITE(6,107)VARI
107 FORMAT(7,20X,"INCIDENCIA DE ONDAS",1A3)
  AKP=HI/CP,AKF=HI/CS,AKS=HI/CS,AKSPI=WR/CP,AKSP=WR/CS,AKSPPI=WR/CP,
  WRITE(6,108)AKP,AKF,AKS,AKSPI,AKSP,AKSPPI,WR,HI,CP,CS,AL,MSER
108 FORMAT(7,20X,"AKP=",F7.4," AKF=",F7.4," AKS=",F7.4,/,
  20X,"AKSPI=",F7.4," AKSP=",F7.4," AKSPPI=",F7.4,/,
  20X,"WR=",F7.4," HI=",F7.4," CP=",F7.4," CS=",F7.4,/,
  20X,"AL=",F8.2," MSER=",F15.7)

```

```

ELIGE GEOMETRIA
ING=1 TRIANGULO , ING=2 COSENO , ING=3 ELIPSE
1000 IF(ING=2) 3000,2000,1000
801 WRITE(6,802)
  GO TO 803
802 WRITE(6,803)
  GO TO 804
803 FORMAT(///,5CX," C I R C U L O ",//)
804 FORMAT(///,5CX," E L I P S E ",//)
  UN=1
  UNFS=NFS+1
  UNFP=NFP+1

```

```

GENERA PUNTOS EN LA FRONTERA Y FUENTES
DO 44 I=1,N
  AN=1,ALF=PI*AN/BN
  CA=CCS(ALF)
  SA=SSIN(ALF)
  X(I)=CA
  Y(I)=SA
  TC(I)=ATAN2(SA,-BOCA)
44 CONTINUE
  DO 77 I=1,NFS
    AN=1
    ALF=PI*ALF/NFPS
    XFS(I)=CCL2*CCS(ALF)
    YFS(I)=CCL2*SSIN(ALF)
77 CONTINUE
  DO 79 I=1,NIP
    AN=1
    ALF=PI*ALF/NIFP
    XFP(I)=CCLP*CCS(ALF)
    YFP(I)=CCLP*SSIN(ALF)

```

```

C
1500 IF(I,P=1) 4,1500,1750
1501 READ(5,7) NFC
1502 DO 30 I=1,NFC
1503 READ(5,10) XC(I),YC(I),TC(I)
1504 WRITE(6,73) I,XC(I),YC(I),TC(I)
30 CONTINUE
1750 READ(5,10) XI,XL,DX
1751 NPC=(XL-XI)/CX+1.0
1752 BH=B*0
1753 DO 91 I=1,NFC
1754 AI=I
1755 XIC=XI+(AI-1.0)*DX
1756 IF(ABS(XXC)-1.0) 85,86,36
85 YIC=B*SQRT(1.0-XXC*XIC)
1757 TC(I)=ATAN2(YIC,-XXC*PH)
1758 YC(I)=YIC
1759 XC(I)=XIC
1760 GO TO 87
86 YC(I)=0.0
1761 TC(I)=PI/2.0
1762 XC(I)=XXC
87 WRITE(6,73) I,XC(I),YC(I),TC(I)
91 CONTINUE
2000 WRITE(6,81)
2001 FORMAT(///,5CX," C D S E N O I D E ",///)
2002 WRITE(6,71)
2003 ALFA=B
2004 AN=N
2005 DXP=2.0/(AN+1.0)
2006 AFS=XFS
2007 AFP=XFP
2008 DXFS=2.0*COUZ/(AFS+1.0)
2009 DXFP=2.0*COUP/(AFP+1.0)
C
1763 GENERA PUNTOS EN LA FRONTERA Y FUENTES
1764 DO 11 I=1,N
1765 AI=I
1766 PX=-1.0+DXP*AI
1767 Y(I)=ALFA/2.0*CC(1.0+CCS(PI*PX))
1768 X(I)=ATAN2(2.0,-ALFA*PI+SIN(PI*PX))
11 CONTINUE
1769 DO 11 I=1,NFS
1770 AI=I
1771 XX=-COUZ+DXFS*AI
1772 YFS(I)=CCUZ*ALFA/2.0*(1.0+CCS(PI*XX/COUZ))
1773 XFS(I)=XX
1774 CONTINUE
1775 DO 11 I=1,NFP
1776 AI=I
1777 XX=-COUP+DXFP*AI
1778 YFP(I)=CCCP*ALFA/2.0*(1.0+CCS(PI*XX/COCP))
1779 XFP(I)=XX
1780 CONTINUE
C
1781 INP=1 LEE PUNTOS DE CENTRAL ; INP=2 GENERA PUNTOS DE CONTROL
2500 IF(INP=1) 4,2500,2750
2501 READ(5,7) NFC
2502 DO 130 I=1,NFC
2503 READ(5,10) XC(I),YC(I),TC(I)
2504 WRITE(6,73) I,XC(I),YC(I),TC(I)
130 CONTINUE
2750 READ(5,10) XI,XL,DX
2751 NPC=(XL-XI)/CX+1.0
2752 DO 12 I=1,NPC
2753 AI=I
2754 XIC=XI+(AI-1.0)*CX
2755 IF(ABS(XXC)-1.0) 13,14,14
13 YC(I)=ALFA/2.0*CC(1.0+CCS(PI*XXC))
2756 TC(I)=ATAN2(2.0,-ALFA*PI+SIN(PI*XXC))
2757 XC(I)=XIC
2758 GO TO 15
14 YC(I)=0.0/XC(I)=XXC
2759 TC(I)=PI/2.0
15 WRITE(6,73) I,XC(I),YC(I),TC(I)
12 CONTINUE
2800 WRITE(6,82)
2801 FORMAT(///,5CX," T R I A N G U L O ",///)
2802 F2=1/(1+1) FCX=2.0/F2
2803 FS=XFS+1
2804 FP=XFP+1
2805 FCNS=2.0*COUZ/FS
2806 FCOP=2.0*COUP/FP
2807 B=H+EP
2808 T1=ATAN2(1.0/B)
2809 T2=ATAN2(1.0/B)
2810 XX=-1.0
2811 XFS=-CCOZ
2812 XFP=-CCOP
2813 XEP=-COUP
2814 READ(5,1001) EP
2815 FORMAT(F10.0)
2816 COUS=B*CCZ
2817 COBP=B*CCP
C
2818 GENERA PUNTOS EN LA FRONTERA Y FUENTES
2819 DO 25 I=1,NFS
2820 XFS=XFS+FCUS
2821 IF(XFS) 19,19,20
19 XFS(I)=XFS
2822 YFS(I)=CCUS*(1.0+XFS/COUZ)
2823 GO TO 25
19 XFS(I)=0.0
2824 YFS(I)=CCUS
2825 GO TO 25
20 XFS(I)=XFS
2826 YFS(I)=CCUS*(1.0-XFS/COUZ)
25 CONTINUE
2827 DO 26 I=1,NFP
2828 XFP=XFP+FCOP
2829 IF(XFP) 21,22,23

```

Fig E. 3. (Continuación)

```

21 XFP(I)=XEP
YFP(I)=CCBP*(1.0+XEP/CCCP)
22 GO TO 23
XFP(I)=XEP
YFP(I)=CCBP
23 XFP(I)=XEP
YFP(I)=CCBP*(1.0-XEP/CCCP)
26 CONTINUE
RH=U*PH
BL=1.0/D
SUL=S*GRY*(1.0+BL*BL)
RH=FF*NL*(UL+SGL)
XA=FF/SBL
DO 625 I=1,N
XX=X*FLX
IF(ABS(XX).LE.1.0E-06) XX=0.0
47 IF(ABS(XX)-XA) 46,47,47
IF(XX) 618,620,620
618 X(I)=XX
Y(I)=D*(1.0+XX)
T(I)=T2
GO TO 625
620 X(I)=XX
Y(I)=D*(1.0-XX)
T(I)=T1
GO TO 625
46 HAI=SCR1(RH*EP-XX*XX)
Y(I)=HAI-RH*EP
T(I)=ATAN2(HAI,-XX)
X(I)=XX
625 CONTINUE
C
E
INP=1 LEE PUNTOS DE CONTROL , INF=2 GENERA PUNTOS DE CONTROL
IF(IAP=1) 4,3500,3750
3500 READ(5,74) I,FC
DO 230 I=1,I,FC
HEAD(5,10) XC(I),YC(I),TC(I)
WRITE(6,73) I,XC(I),YC(I),TC(I)
230 CONTINUE
GO TO 4
3750 READ(5,10) XI,XL,DX
NPC=(XL-XI)/CA*1.0
DO 37 I=1,NPC
AI=I/XX*XI*(AI=1.0)*DX
IF(ABS(XX)=1.0) 32,33,33
32 IF(ABS(XX)=XA) 35,39,39
39 IF(XX) 34,34,36
35 HAI=SCR1(RH*EP-XX*XX)
Y(I)=HAI-RH*EP
T(I)=ATAN2(HAI,-XX)
X(I)=XX
GO TO 31
34 YC(I)=D*(1.0-XX) ; TC(I)=T1 ; XC(I)=XX ; GO TO 31
35 YC(I)=D*(1.0+XX) ; TC(I)=T2 ; XC(I)=XX ; GO TO 31
36 XC(I)=XX ; YC(I)=0 ; TC(I)=PI/2.0
37 WRITE(6,73) I,XC(I),YC(I),TC(I)
CONTINUE
C
E
LEE PESOS EN LOS PUNTOS
4 READ(5,42) h,P
UNO=(1.0/6.0)
DO 312 L=1,N
LN=L*UNO
W(L)=UNO
WRITE(6,41) UNO
302 W(L)=P*UNO
W(L)=P*UNO
READ(5,42) K,P
312 CONTINUE
73 FORMAT(15,F10.0)
FORMAT(7,13X,15,3F15.6)
WRITE(6,501)
501 FORMAT(//,35X,"FUENTES PARA ONDAS S",//,15X,"PUNTO",
,X,"XFS",13X,"YFS",//)
DO 504 I=1,N
WRITE(6,503) I,XFS(I),YFS(I)
504 CONTINUE
WRITE(6,508)
508 FORMAT(//,35X,"FUENTES PARA ONDAS P",//,15X,"PUNTO",
,X,"XFP",13X,"YFP",//)
DO 507 I=1,N
WRITE(6,503) I,XFP(I),YFP(I)
507 CONTINUE
WRITE(6,502)
502 FORMAT(//,35X,"PUNTOS",//,15X,"PUNTO",7X,"X",14X,"Y",14X,"T",14X,
1 PESOS,//)
DO 505 I=1,N
AN=CABS(H(I))
WRITE(6,506) I,X(I),Y(I),T(I),AN
505 CONTINUE
506 FORMAT(7,13X,15,4F15.6)
507 FORMAT(7,13X,15,2F15.6)
104 RETURN
END

```

```

SUBROUTINE ASA(L,LL,AM)
COMPLEX AM(50,50)
IA=(L+4)/5
DO 70 K=1,IK
KK=K-1
II=KK+5+1
IF(K.EQ.1K) GO TO 71
IFN=II+4
GO TO 72
71 IFN=II
WRITE(6,120) (J,J=II,IFN)
120 FORMAT(7,10X,13,4(17Y,13))
DO 70 I=1,L
70 WRITE(6,121) (I,(AM(I,J),J=II,IFN))
121 FORMAT(7,7A,13,3X,10E10.4)
RETURN
END

```

Fig E.3. (Continuación)



```

COMPLEX ZERO, I, J
COMPLEX F11, F12, PS11, PS12
COMPLEX CC1, CC2, CC3, CC4, CC5, CC6, CC7, A2, F2, YSE
COMPLEX XCF, YCF, XCF1, XCF2, XCF3, XCF4, XCF5, XCF6, XCF7, XCF8, XCF9, XCF10
COMPLEX YSF, YSF1, YSF2, YSF3, YSF4, YSF5, YSF6, YSF7, YSF8, YSF9, YSF10
COMPLEX UNO, AKP, YP, XCF, YCF, XCF1, XCF2, XCF3, XCF4, XCF5, XCF6, XCF7, XCF8, XCF9, XCF10
COMPLEX UNO, AKP, YP, XCF, YCF, XCF1, XCF2, XCF3, XCF4, XCF5, XCF6, XCF7, XCF8, XCF9, XCF10
COMPLEX UNO, AKP, YP, XCF, YCF, XCF1, XCF2, XCF3, XCF4, XCF5, XCF6, XCF7, XCF8, XCF9, XCF10
SIG=CS/CP, SIG2=SIG*SIG, PI=3.141592654, UNO=(0.0,1.0)
ZERO=(0.0,0.0)
DO 50 IIC=1, IINC
  ANGI=ANG(IIC)
  IF (ABS(ANGI)-PI/2.0).LT.1.0E-05) GO TO 14
  IF (INL.EQ.2) GO TO 10
  E=ANG(IIC), CE=COS(E), CF=SIG*CE
  GO TO 12
10 F=ANG(IIC), CF=COS(F), CE=CF/SIG
  CONTINUE
  GO TO 25
14 IF (IND.EQ.2) GO TO 17
  ARG=AKP*YP
  IF (IC.EQ.2) GO TO 15
  UXFHC(INC)=ZLFC
  UYFHC(INC)=CHFLX(COS(ARG),0.0)
  GO TO 50
15 BAL=G*AKP*SII(ARG)/SIG2+ZERO
  BDL=REAL(BAL)
  SXXYFR(INC)=UYFHC(INC)*CF
  SXXYFR(INC)=SXXYFR(INC)*CHAF
  SXXYFR(INC)=ZERO
  GO TO 50
17 ARG=AKP*YP
  IF (IC.EQ.2) GO TO 18
  UXFHC(INC)=CHFLX(-COS(ARG),0.0)
  UYFHC(INC)=ZERO
  GO TO 50
18 BAL=G*AKP*SII(ARG)+ZERO
  BDL=REAL(BAL)
  SXXYFR(INC)=UYFHC(INC)*CF
  SXXYFR(INC)=SXXYFR(INC)*CHFLX(BDL,0.0)
  GO TO 50
25 CONTINUE
  IF (CE.LE.1.0) GO TO 26
  CE=SCRT(CE*CE-1.0)
  GO TO 27
27 SF=SCRT(1.0-CE*CE)+ZERO
  TF=SF/CF
  AUX=TF*TF-1.0, AUX2=AUX*AUX
  DEN=4.0*TF*TF, CEN=BAL+AUX2
  COE1=(BAL-AUX2)/CEN
  COE2=-4.0*TF*AUX/DEN
  COE3=4.0*TF*AUX/DEN
  IF (IND.EQ.2) GO TO 30
  B1=0.0, A1=1.0, A2=COE1, B2=COE2
  GO TO 31
30 A1=0.0, B1=1.0, A2=COE3, B2=COE1
31 CONTINUE
  XCF=XCF+CF, YSE=YP*SE
  XCF=XCF+CF, YSF=YP*SF
  F11=UNO+AKP*(XCF+YSE)
  F12=UNO+AKP*(XCF+YSE)
  F13=UNO+AKP*(XCF+YSE)
  F14=UNO+AKP*(XCF+YSE)
  F15=UNO+AKP*(XCF+YSE)
  F16=UNO+AKP*(XCF+YSE)
  F17=UNO+AKP*(XCF+YSE)
  F18=UNO+AKP*(XCF+YSE)
  F19=UNO+AKP*(XCF+YSE)
  F20=UNO+AKP*(XCF+YSE)
  IF (IND.EQ.2) GO TO 35
  UXFHC(INC)=UNC*(TE1-F11-F12-(PS11-PS12))
  UYFHC(INC)=UNC*(TE1-F11-F12-PS11-PS12)
  GO TO 50
35 CONTINUE
  SESE=REAL(SL*SE)
  AUX=(1.0-2.0*SIG2*SESE)/SIG2/CE/CE
  BAL=G*AKP*CL*LCRC
  SXXYFR(INC)=BAL*(AUX*(F11+F12)+2.0*TF*(PS11-PS12))
  SXXYFR(INC)=BAL*(TF*TF-1.0)*(F11+F12)-2.0*TF*(PS11-PS12)
  SXXYFR(INC)=BAL*(2.0*TF*(F11-F12)+(TF*TF-1.0)*(PS11-PS12))
50 CONTINUE
RETURN
END

```

```

SUBROUTINE GERS(I0)
COMMON /PPD/ F1,F2,F3,F4,F5,F6,F7,F8,F9,F10
COMMON /CCOH/ A1,A2,XF,YF,XP,YP
A=XF*XF
B=YP*YP
C=YP*XF
D1=SCRT(A+A+E*B)
D2=SCRT(A+A+C*C)
F1=A/D1
F2=B/D1
F3=A/D2
F4=C/D2
IF (IC.EQ.1) RETURN
F5=F2*F2/H1
F6=F1*F1/H1
F7=F4*F4/H2
F8=F3*F3/H2
F9=F1*F2/H1
F10=-F3*F4/H2
RETURN
END

```

Fig E.3. (Continuación)

```

SUBROUTINE LSFF
COMMON/CCCR/R1,R2,XF,YF,XP,YP
COMMON/PPF/H0,H1,H2
COMMON/PPD/F1,F2,F3,F4,F5,F6,F7,F8,F9,F10
COMMON/LEC/AFK,AKS,CP,CS,HI,AL,ANG(5)
COMMON/PPDP/SXXP,SXYP,SXYP,SXYP
COMPLEX HC,H1,H2,UNO
COMPLEX SXXP,SXYP,SXYP,SXYP,DUXX,DUYY,DUXY,PIKP
UNO=(0.C,1.0)
PIKP=PI*(1.41592654)
CALL GENR(2)
A1=AKP*RI
A2=AKP*R2
CALL HARKEL(A1,2)
DUXX=-H1*F1-AKP*H2*F2*F1
DUYY=-H1*F2-AKP*H2*F2*F2
DUXY=-H1*F3-AKP*H2*F2*F2
CALL HARKEL(A2,3)
DUXX=(DUXX-H1*F1-AKP*H2*F3*F3)*PIKP
DUYY=(DUYY-H1*F2-AKP*H2*F3*F3)*PIKP
DUXY=(DUXY-H1*F10-AKP*H2*F3*F4)*PIKP
SXXP=CS/CP/SIG2+ACVY*FACB
SXXS=LUXX/SIG2+ACVY*FACB
SXXS=DUXX*FACB
SXYP=2.0*CUY
RETURN
END

```

```

SUBROUTINE LSFS
COMMON/CCCR/R1,R2,XF,YF,XP,YP
COMMON/PPF/H0,H1,H2
COMMON/PPD/F1,F2,F3,F4,F5,F6,F7,F8,F9,F10
COMMON/LEC/AFK,AKS,CP,CS,HI,AL,ANG(5)
COMMON/PPDP/SXXS,SXYS,SXYS,SXYS
COMPLEX HC,H1,H2,UNO
COMPLEX SXXS,SXYS,SXYS,SXYS,DUXX,DUYY,DUXY,DUYX
UNO=(0.C,1.0)
PI=PI*(1.41592654)
CALL GENR(2)
A1=AKS*RI
A2=AKS*R2
CALL HARKEL(A1,2)
DUXX=-H1*F1-AKS*H2*F2*F1
DUYY=-H1*F2-AKS*H2*F2*F2
DUXY=-H1*F3-AKS*H2*F2*F2
CALL HARKEL(A2,3)
DUXX=(DUXX-H1*F1-AKS*H2*F3*F3)
DUYY=(DUYY-H1*F2-AKS*H2*F3*F3)
DUXY=(DUXY-H1*F7-AKS*H2*F3*F3)
DUYX=(DUYX-H1*F1-UNO*AKS)
SXXS=(DUXY*DUYX)*PI*UNO*AKS
RETURN
END

```

```

SUBROUTINE DESPF
COMMON/CCCR/R1,R2,XF,YF,XP,YP
COMMON/PPF/H0,H1,H2
COMMON/PPD/F1,F2,F3,F4,F5,F6,F7,F8,F9,F10
COMMON/PPDP/LXP,UYF
COMMON/LEC/AFK,AKS,CP,CS,HI,AL,ANG(5)
COMPLEX HC,H1,H2,UNO
COMPLEX UXP,UYF,UYF,UYF
UNO=CHPLX(0.C,1.0)
PI=PI*(1.41592654)
CALL GENR(1)
A1=AKP*RI
A2=AKP*R2
CALL HARKEL(A1,1)
UXP=H1*F1
UYF=H1*F1
CALL HARKEL(A2,1)
UYF=(UYF-H1*F3)*PI*UNO*AKP
UYF=(UYF-H1*F4)*PI*UNO*AKP
RETURN
END

```

```

SUBROUTINE UESPF5
COMMON/CCCR/R1,R2,XF,YF,XP,YP
COMMON/PPF/H0,H1,H2
COMMON/PPD/F1,F2,F3,F4,F5,F6,F7,F8,F9,F10
COMMON/PPDS/LXS,UY5
COMMON/LEC/AFK,AKS,CP,CS,HI,AL,ANG(5)
COMPLEX HC,H1,H2,UNO
COMPLEX UXS,UY5,UY5,UY5
UNO=CHPLX(0.C,1.0)
PI=PI*(1.41592654)
CALL GENR(1)
A1=AKS*RI
A2=AKS*R2
CALL HARKEL(A1,1)
UXS=H1*F1
UY5=H1*F1
CALL HARKEL(A2,1)
UY5=(UY5-H1*F3)*PI*UNO*AKS
UY5=(UY5-H1*F3)*PI*UNO*AKS
RETURN
END

```

Fig E.3. (Continuación)



```

SUBROUTINE SYMCH)
COMMON/SCL1/ A
COMMON/SCL2/ B,N
COMMON/READ/PE,PF,PP,PS,PC,NINC,IND
COMMON/LE/X(250),Y(250),Z(250),XFF(25),YFP(25),
* COMPLEX C(100,5),D(100,5),X(100),Y(100),Z(100),H
COMPLEX A(500,50),B(500,5),SUM,SUMB,ZERC,DALIN
    EL SISTEMA DE ECUACIONES INICIAL DE M,N QUEDA DE M,N
    MULTIPLICA LA TRASPLISTA CONJUGADA DE A POR A Y POR B
ZERO=(0.0,0.0)
DO 20 I=1,N
DO 10 J=1,N
SUM=ZERC
DO 5 L=1,M
BALIN=CONJG(A(L,I))
SUM=SUM+BALIN*B(L,J)
5 CONTINUE
D(I,J)=SUM
10 CONTINUE
DO 16 I=1,NINC
SUM=ZERC
DO 15 L=1,M
BALIN=CONJG(A(L,I))
SUM=SUM+BALIN*B(L,K)
15 CONTINUE
C(I,K)=SUMB
28 CONTINUE
DO 30 I=1,N
DO 25 J=1,N
A(I,J)=C(I,J)
25 CONTINUE
DO 26 K=1,NINC
D(I,K)=C(I,K)
28 CONTINUE
RETURN
END
    
```

```

SUBROUTINE SCLLC(MBAN)
COMMON/READ/PE,PF,PP,PS,PC,NINC,IND
COMMON/LE/X(250),Y(250),Z(250),XFF(25),YFP(25),
* COMPLEX C(100,5),D(100,5),ZERC,SUM
COMMON/SCL1/ A
COMMON/SCL2/ B,N
    RESOLUCION DEL SISTEMA DE ECUACIONES COMPLEJO TRIANGULARIZANDO A
    LA SELECCION QUEDA EN B
ZERO=(0.0,0.0)
EPSI=1.0E-20
    TRIANGULARIZACION DE A
DO 10 I=1,N
DO 9 J=1,N
SUM=ZERO
IF(I.EQ.1) GO TO 5
DO 4 K=1,I-1
SUM=SUM+A(I,K)+A(K,J)
5 A(I,J)=A(I,J)-SUM
IF(J.EQ.N) GO TO 9
SUM=ZERO
IF(I.EQ.1) GO TO 7
DO 6 K=1,I-1
SUM=SUM+A(J+1,K)+A(K,I)
7 IF(CABS(A(I,I)).LE.EPSI) GO TO 1062
A(J+1,I)=A(J+1,I)-SUM/A(I,I)
10 CONTINUE
    SUSTITUCION EN LA TRIANGULAR INFERIOR
DO 11 KB=1,NINC
DO 12 I=1,N
SUM=ZERC
IF(I.EQ.1) GO TO 16
DO 15 K=1,I-1
SUM=SUM+A(I,K)*H(K,KB)
17 B(I,KB)=B(I,KB)-SUM
    DESPEJE DE LA TRIANGULAR SUPERIOR
DO 22 I=1,N
YY=I+1
SUM=ZERC
IF(I.EQ.1) GO TO 19
DO 20 K=1,I-1
RK=I-K+1
SUM=SUM+A(I,KK)+H(K,KB)
19 IF(CABS(A(I,I)).LE.EPSI) GO TO 1062
D(I,KB)=(B(I,KB)-SUM)/A(I,I)
22 CONTINUE
KBA=0
GO TO 1063
1062 KBA=1
1063 RETURN
END
    
```

Fig E.3. (Continuación)

